

### บทที่ 3

#### ผลการศึกษา

##### 1. การศึกษาในทดลองทดลอง

จากการสกัดสารจากเนื้อสาหรสชนิดเปลือกเหลืองและม่วงด้วยน้ำและ 80% เอทานอล พบร่วมกัน มี %yield ดังนี้

สารสกัดสาหรสเปลือกเหลืองสกัดด้วยน้ำ มี %yield = 15.3 g/ 100 g น้ำหนักสด

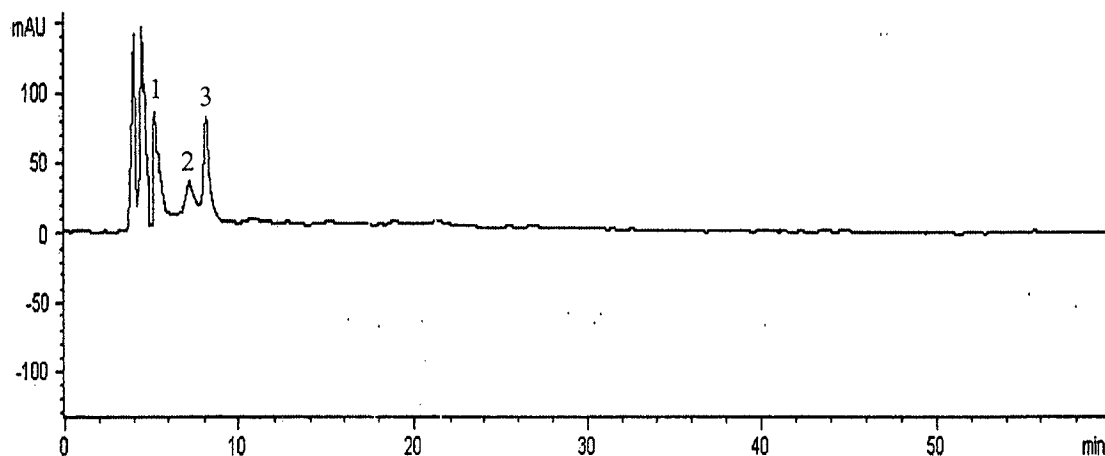
สารสกัดสาหรสเปลือกเหลืองสกัดด้วย 80% เอทานอล มี %yield = 17.0 g/ 100 g น้ำหนักสด

สารสกัดสาหรสเปลือกม่วงสกัดด้วยน้ำ มี %yield = 11.4 g/ 100 g น้ำหนักสด

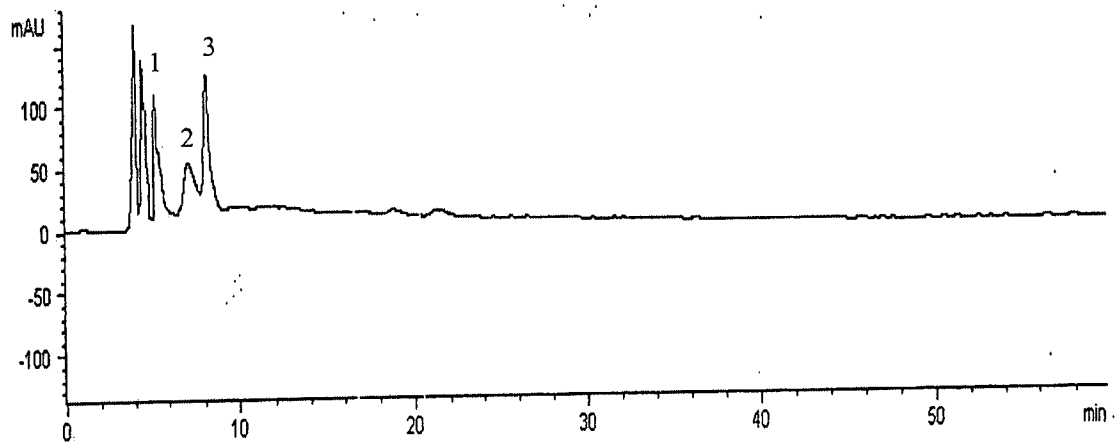
สารสกัดสาหรสเปลือกม่วงสกัดด้วย 80% เอทานอล มี %yield = 10.2 g/ 100 g น้ำหนักสด

##### 1. การวิเคราะห์หาสารออกฤทธิ์ (Bioactive compounds) ในสารสกัดสาหรสทั้งชนิดเปลือกสีม่วง และสีเหลือง

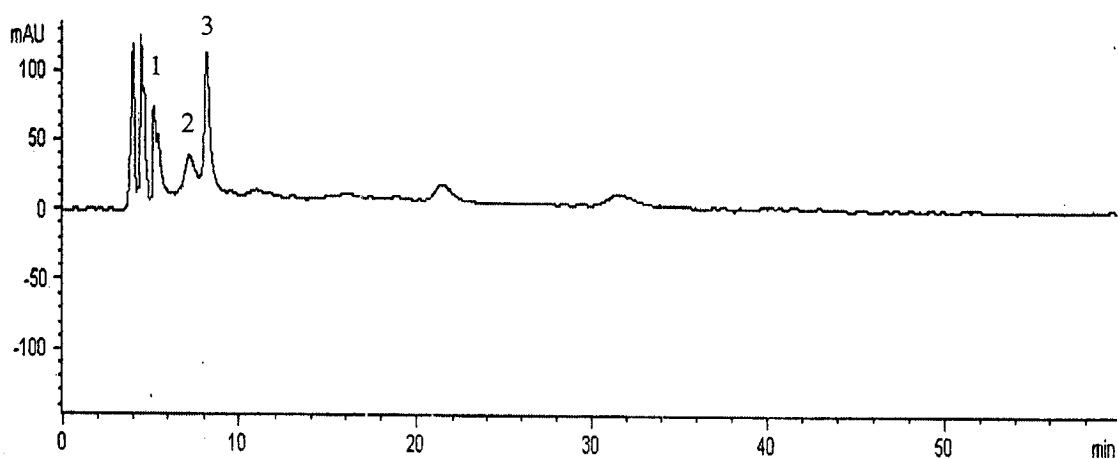
การเตรียมสารสกัดสาหรสเพื่อนำไปตรวจหาสารออกฤทธิ์ที่สำคัญ ได้ผลดังแสดงในโกรมาโทแกรม โดยเทียบกับสารมาตรฐาน rutin, pyrogallol และ gallic acid ที่ความเข้มข้น 20 mg/ml



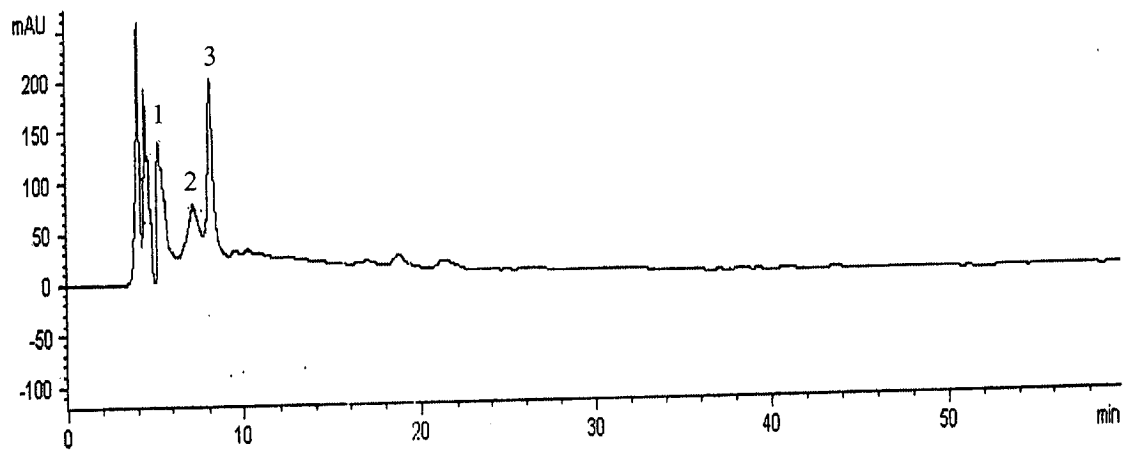
รูปที่ 7 แสดงโกรมาโทแกรมของสารออกฤทธิ์ในสารสกัดจากสาหรสเปลือกสีเหลืองที่สกัดด้วยน้ำ ที่ความเข้มข้น 20 mg/ml วัดที่ความยาวคลื่น 250 nm พบ 1 = rutin (5.170 minutes), 2 = pyrogallol (7.166 minutes), 3 = gallic acid (8.119 minutes)



รูปที่ 8 แสดงโคมาโทแกรมของสารออกฤทธิ์ในสารสกัดจากเสาวรสเปลือกสีเหลืองที่สกัดด้วย 80% เอทานอล ที่ความเข้มข้น 20 mg/ml วัดที่ความยาวคลื่น 250 nm พบ 1 = rutin (5.180 minutes), 2 = pyrogallol (7.116 minutes), 3 = gallic acid (8.128 minutes)



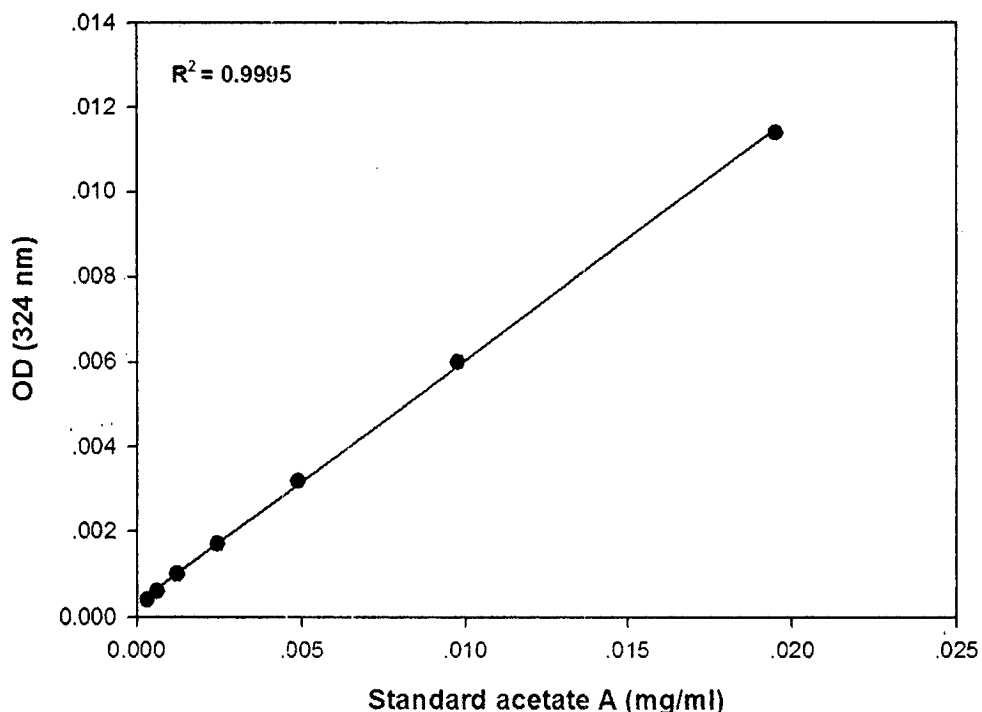
รูปที่ 9 แสดงограмมาโทแกรมของสารออกฤทธิ์ในสารสกัดจากเสาวรสเปลือกสีน้ำเงินที่สกัดด้วยน้ำ ที่ความเข้มข้น 20 mg/ml วัดที่ความยาวคลื่น 250 nm PB 1 = rutin (5.158 minutes), 2 = pyrogallol (7.180 minutes), 3 = gallic acid (8.139 minutes)



รูปที่ 10 แสดงโคโรมาโทแกรมของสารออกฤทธิ์ในสารสกัดจากเสาวรสเปลีอิกสีม่วงที่สกัดด้วย 80% เอทานอล ที่ความเข้มข้น 20 mg/ml วัดที่ความยาวคลื่น 250 nm พบ 1 = rutin (5.207 minutes), 2 = pyrogallol (7.181 minutes), 3 = gallic acid (8.132 minutes)

## 2. การวิเคราะห์หาปริมาณวิตามิน เอ

จากการวิเคราะห์สารสกัดเสาวรสด้วย RP-HPLC-UV ด้วยสารมาตรฐานวิตามิน เอ โดยใช้ตัวทำละลายเมทานอล ขั้ตตราการ ไอลที่ 1 ml ต่อน้ำที่ ที่ความยาวคลื่น 324 nm พบร่วมสามารถแสดงสารวิตามิน เอ ช่วงเวลา 6.48 – 6.50 นาที

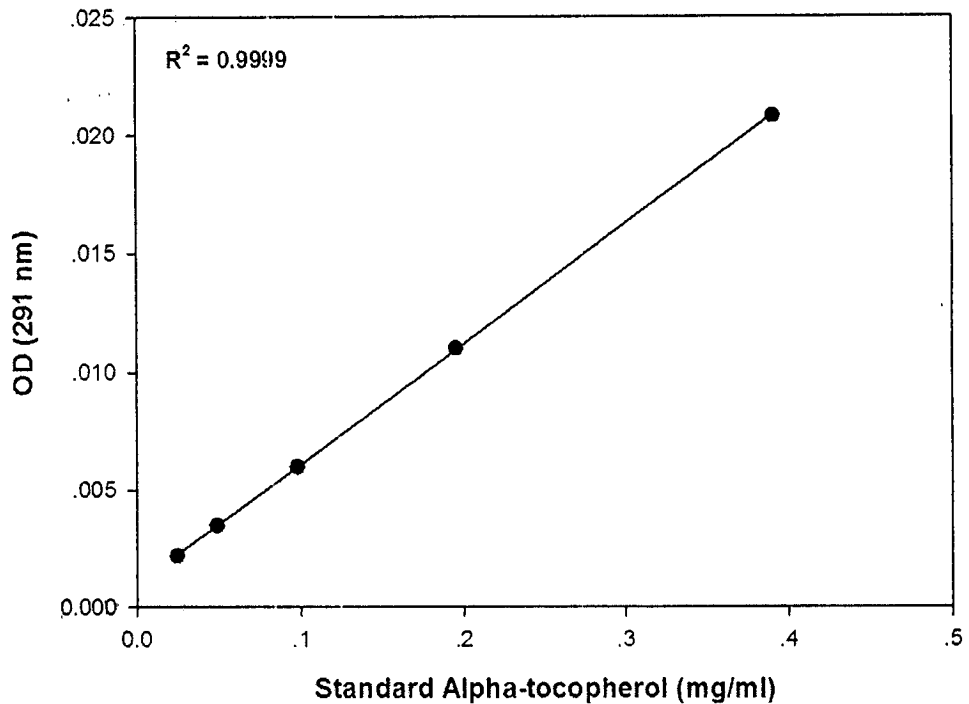


รูปที่ 11 กราฟของสารมาตรฐาน retinol acetate กับค่าการดูดกลืนแสงที่ 324 nm

จากการวิเคราะห์ปริมาณวิตามินเอ ในสารสกัดเสาวรส ไม่พบร่วมวิตามิน เอ ในสารสกัดเสาวรสชนิดเปลือกสีเหลืองและเปลือกสีม่วง

### 3. การวิเคราะห์หาปริมาณวิตามิน อี

จากการวิเคราะห์สารสกัดเสาวรสด้วย RP-HPLC-UV ด้วยสารมาตรฐานวิตามินอี โดยใช้ตัวทำละลายเมทานอล อัตราการให้หลักที่ 1 ml ต่อน้ำที่ ที่ความยาวคลื่น 291 nm พบว่า สามารถแสดงสารวิตามิน อี ช่วงเวลา 8.20-8.37 นาที

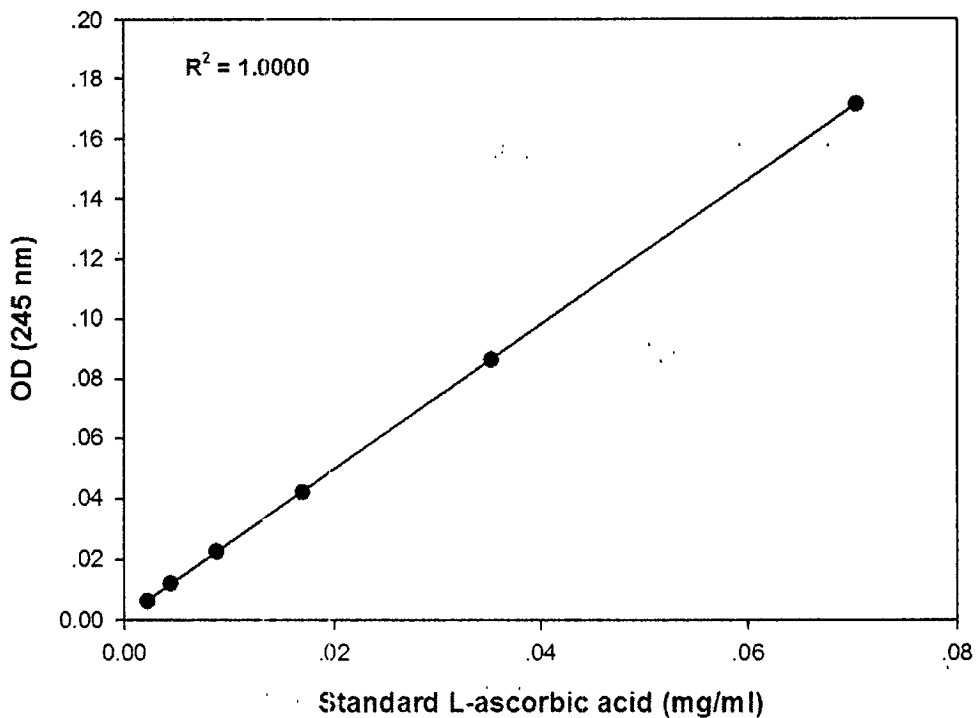


รูปที่ 12 กราฟของสารมาตรฐาน alpha-tocopherol กับค่าการดูดกลืนแสงที่ 324 nm

ผลการวิเคราะห์ปริมาณวิตามิน อี ในสารสกัดเสาวรส พบว่าสารสกัดจากเสาวรสชนิดเปลือกสีเหลืองมีปริมาณวิตามิน อี เฉลี่ย  $141.5 \pm 2.7 \mu\text{g/g}$  extract และสารสกัดจากเสาวรสชนิดเปลือกสีม่วงมีปริมาณวิตามิน อี เฉลี่ย  $442.1 \pm 3.6 \mu\text{g/g}$  extract

#### 4. การวิเคราะห์หาปริมาณวิตามินซี

จากการวิเคราะห์สารสกัดเสาวรสด้วย RP-HPLC-UV ด้วยสารมาตรฐานวิตามินซี โดยใช้ตัวทำละลายเมทานอล ขั้ตตราการไฟลที่ 1 ml ต่อน้ำที่ ที่ความยาวคลื่น 245 nm พบรว่า สามารถแสดงสารวิตามินซี ช่วงเวลา 2.10 - 2.23 นาที

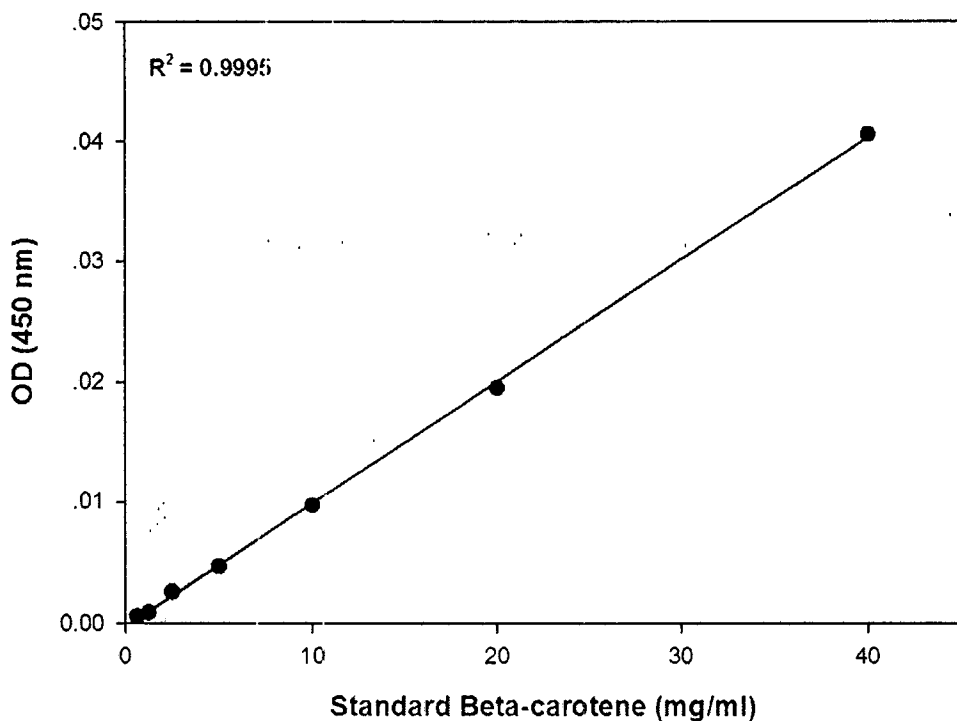


รูปที่ 13 กราฟของสารมาตรฐาน L-ascorbic acid กับค่าการดูดกลืนแสงที่ 245 nm

ผลการวิเคราะห์ปริมาณวิตามินซี ในสารสกัดเสาวรส พบรว่าสารสกัดจากเสาวรสชนิดเปลือกสีเหลืองมีปริมาณวิตามินซี เฉลี่ย  $26.2 \pm 0.1 \mu\text{g/g extract}$  และสารสกัดจากเสาวรสชนิดเปลือกสีม่วงมีปริมาณวิตามินซี เฉลี่ย  $24.7 \pm 0.2 \mu\text{g/g extract}$

### 5. การวิเคราะห์หาปริมาณเบต้า-แครอทีน

จากการวิเคราะห์ด้วย RP-HPLC-UV ด้วยสารมาตรฐานเบต้า-แครอทีน โดยใช้ตัวทำละลายเมทานอล อัตราการไอลที่ 1 ml ต่อนาที ที่ 450 nm พบร้า สามารถแสดงสารเบต้า-แครอทีน ช่วงเวลา 27.05-27.95 นาที



รูปที่ 14 กราฟของสารมาตรฐานเบต้า-แครอทีน กับค่าการดูดกลืนแสงที่ 450 nm

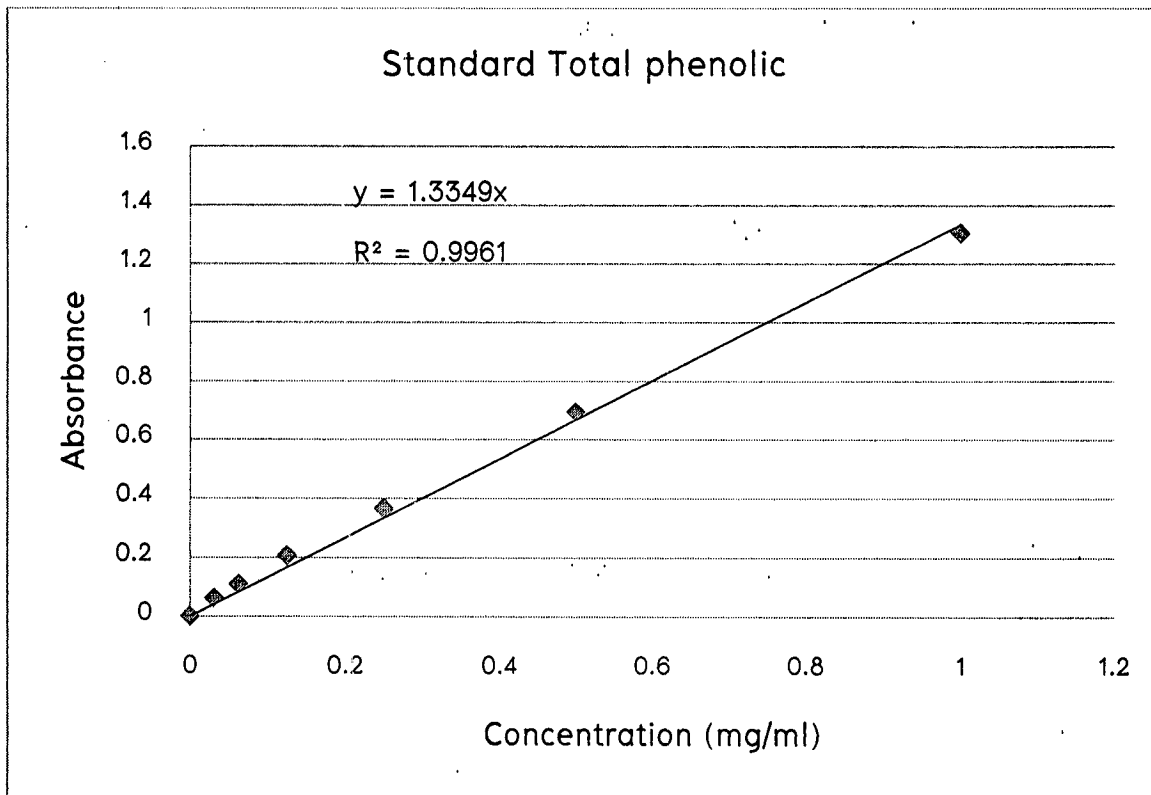
จากการวิเคราะห์ปริมาณเบต้า-แครอทีน ในสารสกัดเสาวรส ไม่พบเบต้า-แครอทีน ในสารสกัดเสาวรสชนิดเปลือกสีเหลืองและเปลือกสีม่วง

ตารางที่ 4 แสดงผลการวิเคราะห์หาปริมาณวิตามินเอ วิตามินอี วิตามินซี และเบต้า-แคโรทีน

สารสกัดเสาวรส	วิตามินเอ ( $\mu\text{g/g extract}$ )	วิตามินอี ( $\mu\text{g/g extract}$ )	วิตามินซี ( $\mu\text{g/g extract}$ )	เบต้า-แคโรทีน ( $\mu\text{g/g extract}$ )
เปลือกตีเหลือง	ไม่พบ	$141.5 \pm 2.7$	$26.2 \pm 0.1$	ไม่พบ
เปลือกส้มร่วง	ไม่พบ	$442.1 \pm 3.6$	$24.7 \pm 0.2$	ไม่พบ

### 6. การวิเคราะห์หาปริมาณ total phenolic

ตรวจวิเคราะห์หาปริมาณของ total phenolic ด้วย Folin-Ciocalteu reagent โดยใช้สารมาตรฐาน gallic acid เป็นตัวเปรียบเทียบ



รูปที่ 15 กราฟของสารมาตรฐาน gallic acid กับค่าการดูดกลืนแสงที่ 764 nm

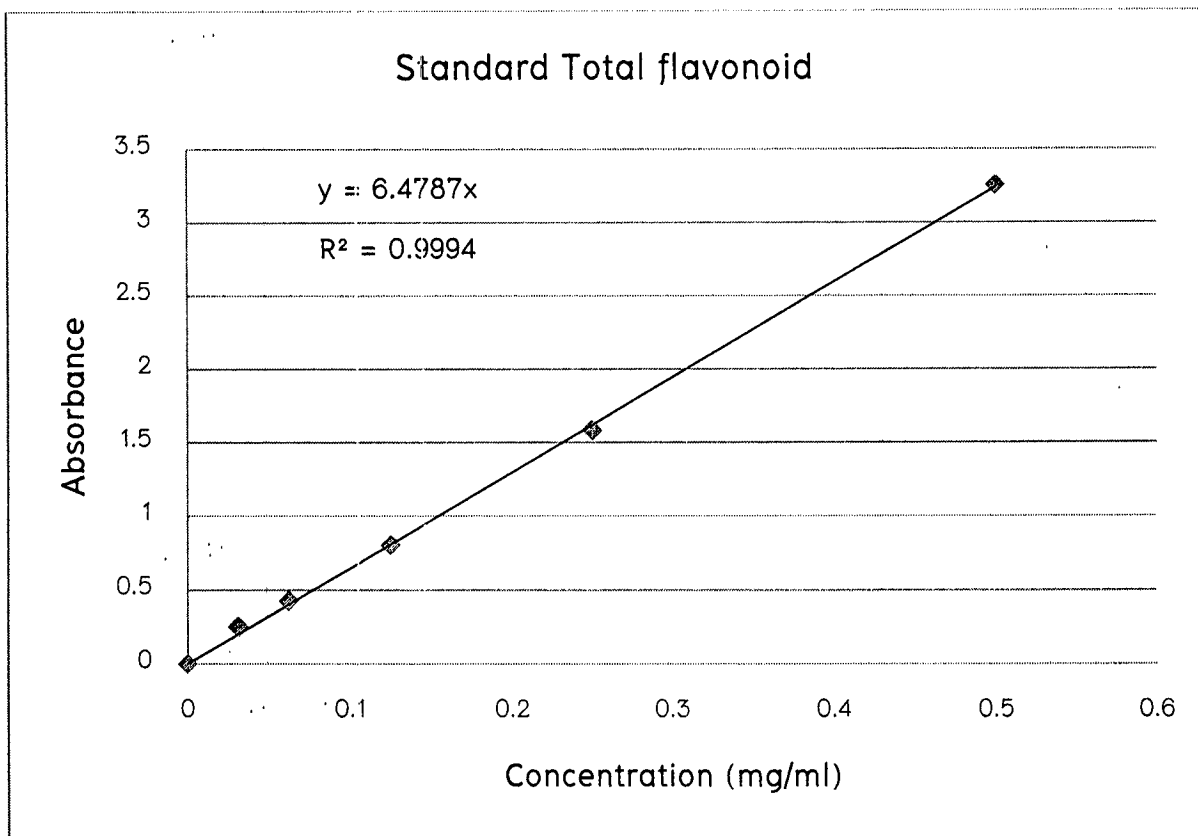
จากผลการวิเคราะห์ปริมาณ total phenolic พบร่วมกับสารสกัดสาหรส 1 กรัมมีปริมาณ total phenolic เทียบเท่ากับ gallic acid ที่ปริมาณเฉลี่ย  $59.9 \pm 7.5$ ,  $173.6 \pm 29.1$ ,  $142.3 \pm 3.8$  และ  $127.4 \pm 17.2$   $\mu\text{g}$  GE/g extract สำหรับสาหรสเปลือกเหลืองที่สกัดด้วยน้ำ สาหรสเปลือกเหลืองที่สกัดด้วย 80% เอทานอล สาหรสเปลือกม่วงที่สกัดด้วยน้ำ และสาหรสเปลือกม่วงที่สกัดด้วย 80% เอทานอล ตามลำดับ

ตารางที่ 5 แสดงผลการวิเคราะห์หาปริมาณ total phenolic

	ปริมาณ total phenolic ( $\mu\text{g GE/g extract}$ )
สารสเปล็อกเหลืองที่สกัดด้วยน้ำ	59.9 $\pm$ 7.5
สารสเปล็อกเหลืองที่สกัดด้วย 80% เอทานอล	173.6 $\pm$ 29.1
สารสเปล็อกม่วงที่สกัดด้วยน้ำ	142.3 $\pm$ 3.8
สารสเปล็อกม่วงที่สกัดด้วย 80% เอทานอล	127.4 $\pm$ 17.2

### 7. การวิเคราะห์หาปริมาณ total flavonoid

ตรวจวิเคราะห์หาปริมาณของ total flavonoid ด้วยวิธี aluminium chloride โดยใช้สารมาตรฐาน quercetin เป็นตัวเปรียบเทียบ



รูปที่ 16 กราฟของสารมาตรฐาน quercetin กับค่าการดูดกลืนแสงที่ 415 nm

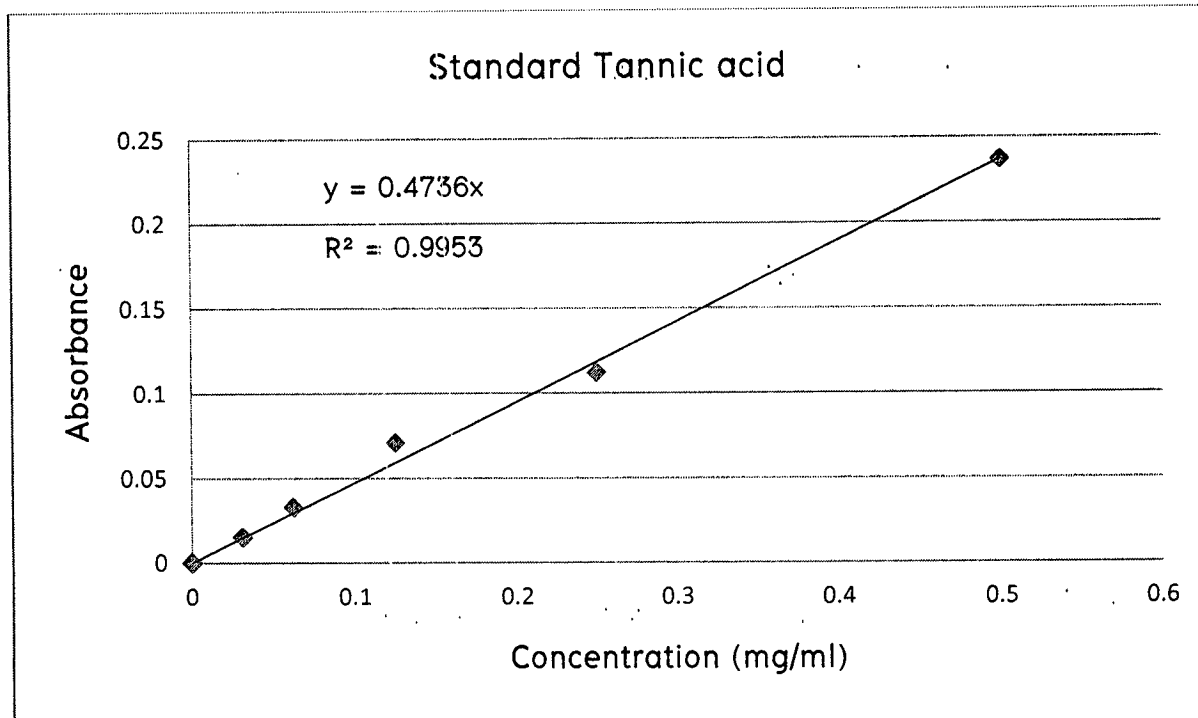
จากผลการวิเคราะห์ปริมาณ total flavonoid พนว่า สารสกัดเสาวรส 1 กรัมมีปริมาณ total flavonoid เทียบเท่ากับ quercetin ที่ปริมาณเฉลี่ย  $431.2 \pm 41.3$ ,  $653.2 \pm 10.4$ ,  $436.8 \pm 36.4$  และ  $715.7 \pm 24.4$  ไมโครกรัม ( $431.2 \pm 41.3$ ,  $653.2 \pm 10.4$ ,  $436.8 \pm 36.4$  และ  $715.7 \pm 24.4 \mu\text{g QE/g extract}$ ) สำหรับเสาวรส เปลือกเหลืองที่สกัดด้วยน้ำ เสาวรสเปลือกเหลืองที่สกัดด้วย 80% เอทานอล เสาวรสเปลือกม่วงที่สกัดด้วยน้ำ และเสาวรสเปลือกม่วงที่สกัดด้วย 80% เอทานอล ตามลำดับ

ตารางที่ 6 แสดงผลการวิเคราะห์หาปริมาณ total flavonoid

	ปริมาณ total flavonoid ( $\mu\text{g QE/g extract}$ )
สาหรสเปล็อกเหลืองที่สกัดด้วยน้ำ	$431.2 \pm 41.3$
สาหรสเปล็อกเหลืองที่สกัดด้วย 80% เอทานอล	$653.2 \pm 10.4$
สาหรสเปล็อกม่วงที่สกัดด้วยน้ำ	$436.8 \pm 36.4$
สาหรสเปล็อกม่วงที่สกัดด้วย 80% เอทานอล	$715.7 \pm 24.4$

### 8. การวิเคราะห์หาปริมาณ total tannin

ตรวจวิเคราะห์หาปริมาณของ total tannin ด้วย Folin-Denis reagent โดยใช้สารมาตรฐาน tannic acid เป็นตัวเปรียบเทียบ



รูปที่ 17 กราฟของสารมาตรฐาน tannic acid กับค่าการดูดกลืนแสงที่ 755 nm

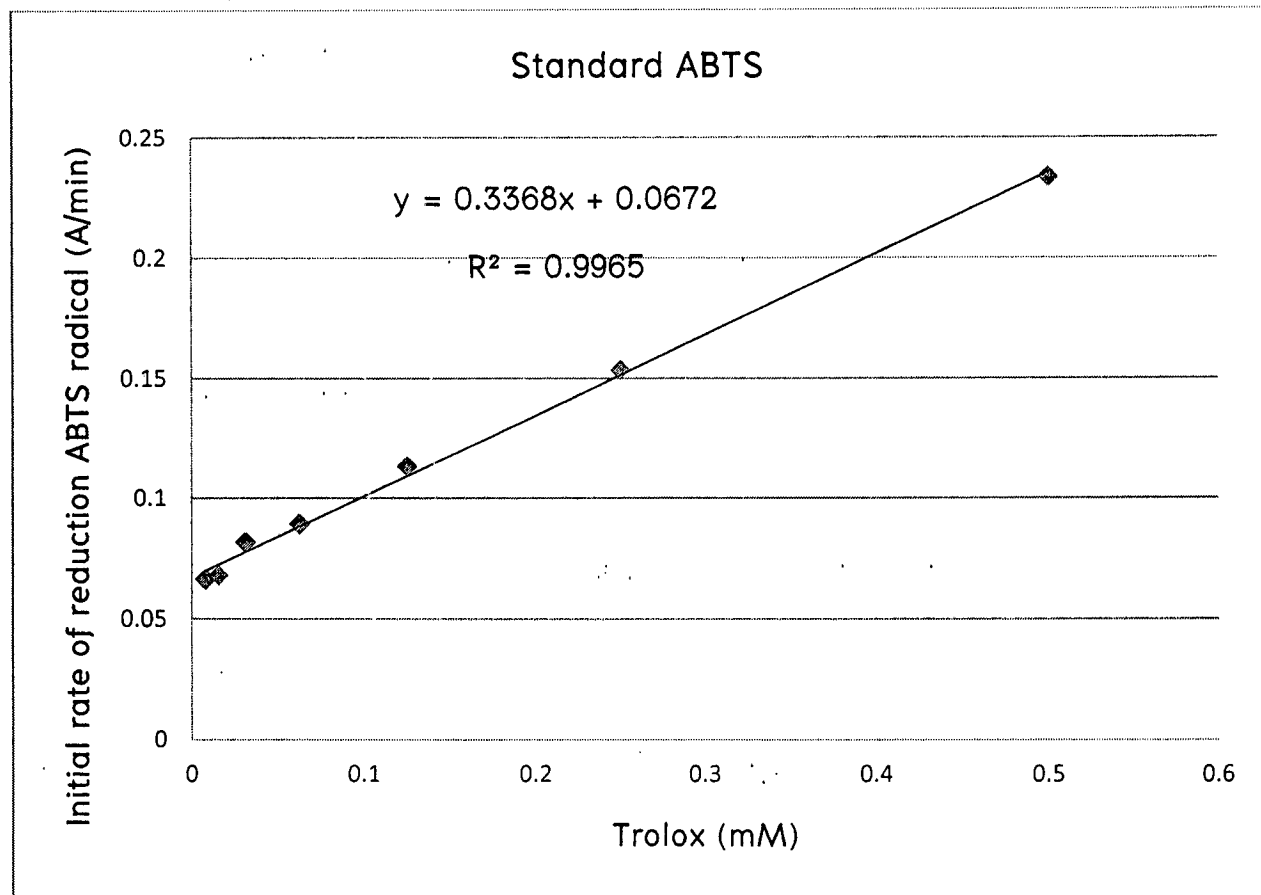
จากผลการวิเคราะห์ปริมาณ total tannin พบร่วมกับสารสกัดเสาวรส 1 กรัมมีปริมาณ total tannin เทียบเท่ากับ tannic acid ที่ปริมาณเฉลี่ย  $1.6 \pm 0.01$ ,  $1.3 \pm 0.01$ ,  $1.4 \pm 0.03$  และ  $1.5 \pm 0.01$  มิลลิกรัม ( $1.6 \pm 0.01$ ,  $1.3 \pm 0.01$ ,  $1.4 \pm 0.03$  และ  $1.5 \pm 0.01$  mg TE/g extract) สำหรับเสาวรสเปลือกเหลืองที่สกัดด้วยน้ำเสาวรสเปลือกเหลืองที่สกัดด้วย 80% เอทานอล เสาวรสเปลือกม่วงที่สกัดด้วยน้ำ และเสาวรสเปลือกม่วงที่สกัดด้วย 80% เอทานอล ตามลำดับ

ตารางที่ 7 แสดงผลการวิเคราะห์หาปริมาณ total tannin

	ปริมาณ total tannin (mg TE/g extract)
สารสเปล็อกเหลืองที่สกัดด้วยน้ำ	1.6 ± 0.01
สารสเปล็อกเหลืองที่สกัดด้วย 80% เอทานอล	1.3 ± 0.01
สารสเปล็อกม่วงที่สกัดด้วยน้ำ	1.4 ± 0.03
สารสเปล็อกม่วงที่สกัดด้วย 80% เอทานอล	1.5 ± 0.01

### 9. การทดสอบฤทธิ์ต้านอนุมูลอิสระโดยรวม (Total antioxidant capacity)

โดยใช้วิธี 2,2'-azino-bis(3-ethylbenzthiazoline-6-sulphonic acid) (ABTS) decolorization assay ใน การศึกษาครั้งนี้ได้เปรียบเทียบอัตราการลดลงของสาร ABTS cation radical และค่าคงวนหา  $\Delta A/min$  ของสารสกัดเสาวรส เพื่อมาคำนวณเปรียบเทียบกับกราฟมาตรฐานของ Trolox



รูปที่ 18 กราฟแสดงความสัมพันธ์ระหว่างปริมาณความเข้มข้นของสารมาตรฐาน Trolox กับค่า  $\Delta A/min$

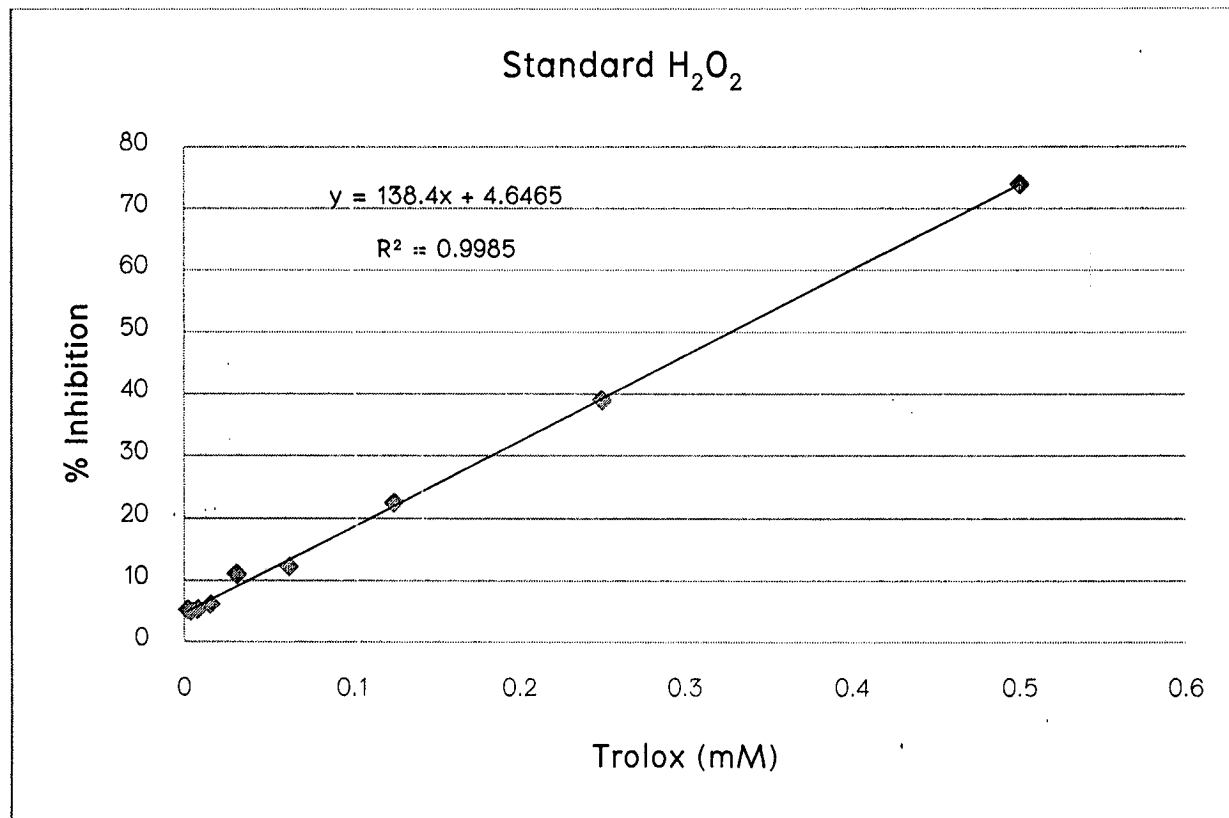
จากผลการวิเคราะห์ฤทธิ์ต้านอนุมูลอิสระโดยรวม (Total antioxidant capacity; TAC) พบว่า สาร สกัดเสาวรส 1 กรัม มีปริมาณ TAC เทียบเท่ากับ Trolox ที่ปริมาณเฉลี่ย  $3.7 \pm 0.3$ ,  $2.3 \pm 0.1$ ,  $2.3 \pm 0.1$  และ  $2.3 \pm 0.04$  mmol ( $3.7 \pm 0.3$ ,  $2.3 \pm 0.1$ ,  $2.3 \pm 0.1$  และ  $2.3 \pm 0.04$  mmol Trolox/g extract) สำหรับเสาวรส เปลือกเหลืองที่สกัดด้วยน้ำ เสาวรสเปลือกเหลืองที่สกัดด้วย 80% เอทานอล เสาวรสเปลือกม่วงที่สกัดด้วย น้ำ และเสาวรสเปลือกม่วงที่สกัดด้วย 80% เอทานอล ตามลำดับ

ตารางที่ 8 แสดงผลการทดสอบฤทธิ์ต้านอนุมูลอิสระโดยรวม (Total antioxidant capacity)

	Total antioxidant capacity; TAC (mmol Trolox/g extract)
สาหรสเปลือกเหลืองที่สกัดด้วยน้ำ	3.7 ± 0.3
สาหรสเปลือกเหลืองที่สกัดด้วย 80% เอทานอล	2.3 ± 0.1
สาหรสเปลือกม่วงที่สกัดด้วยน้ำ	2.3 ± 0.1
สาหรสเปลือกม่วงที่สกัดด้วย 80% เอทานอล	2.3 ± 0.04

### 10. การทดสอบฤทธิ์กำจัดไฮโดรเจนเพอร์ออกไซด์ ( $H_2O_2$ scavenging)

การทดสอบฤทธิ์กำจัดไฮโดรเจนเพอร์ออกไซด์ของสารสกัดสาหรส การรายงานผลจะรายงานในรูปของเปอร์เซ็นต์การกำจัดไฮโดรเจนเพอร์ออกไซด์ (Percentage of  $H_2O_2$  scavenging) เทียบกับสารมาตรฐาน Trolox



รูปที่ 19 กราฟแสดงความสัมพันธ์ระหว่างปริมาณความเข้มข้นของสารมาตรฐาน Trolox กับค่า % inhibition

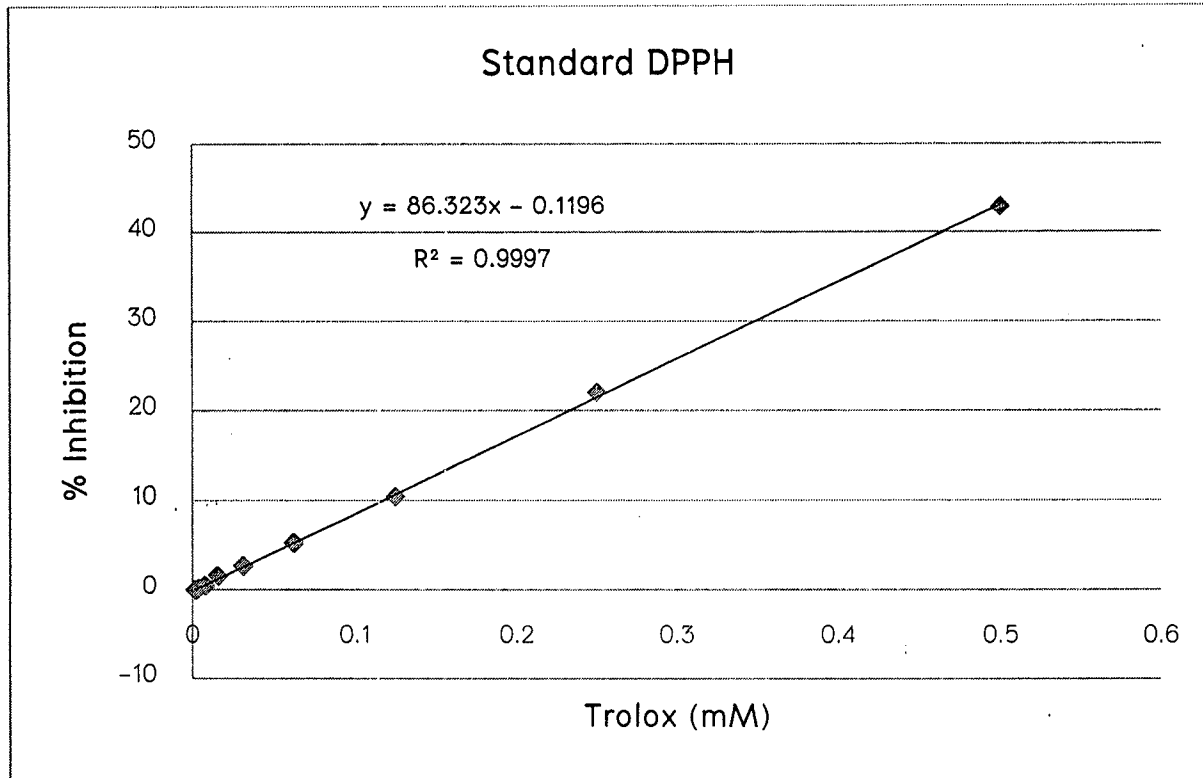
จากผลการวิเคราะห์ฤทธิ์ในการกำจัดไฮโดรเจนเพอร์ออกไซด์ ( $H_2O_2$  scavenging) พบว่า สารสกัดสาหรส 1 กรัมมีความสามารถในการกำจัดไฮโดรเจนเพอร์ออกไซด์เทียบเท่ากับ Trolox ที่ปริมาณ  $16.4 \pm 0.6$ ,  $14.0 \pm 1.9$ ,  $16.7 \pm 0.2$  และ  $9.9 \pm 0.2$  ไมโครโมล Trolox ( $16.4 \pm 0.6$ ,  $14.0 \pm 1.9$ ,  $16.7 \pm 0.2$  และ  $9.9 \pm 0.2 \mu\text{mol Trolox/g extract}$ ) สำหรับสาหรสเปลือกเหลืองที่สกัดด้วยน้ำ สาหรสเปลือกเหลืองที่สกัดด้วย 80% เอทานอล สาหรสเปลือกม่วงที่สกัดด้วยน้ำ และสาหรสเปลือกม่วงที่สกัดด้วย 80% เอทานอล ตามลำดับ

ตารางที่ 9 เสด็จผลการทดสอบฤทธิ์กำจัด ไฮโดรเจนเพอร์ออกไซด์ ( $H_2O_2$  scavenging)

	$H_2O_2$ scavenging ( $\mu\text{mol Trolox/g extract}$ )
เสาวรสเปปีลือกเหลืองที่สกัดด้วยน้ำ	$16.4 \pm 0.6$
เสาวรสเปปีลือกเหลืองที่สกัดด้วย 80% เอทานอล	$14.0 \pm 1.9$
เสาวรสเปปีลือกม่วงที่สกัดด้วยน้ำ	$16.7 \pm 0.2$
เสาวรสเปปีลือกม่วงที่สกัดด้วย 80% เอทานอล	$9.9 \pm 0.2$

### 11. การทดสอบฤทธิ์ต้านอนุมูลอิสระ

โดยใช้วิธี DPPH (1,1-diphenyl-2-picrylhydrazyl) radical scavenging assay



รูปที่ 20 그래ฟแสดงความสัมพันธ์ระหว่างปริมาณความเข้มข้นของสารมาตรฐาน Trolox กับค่า % inhibition

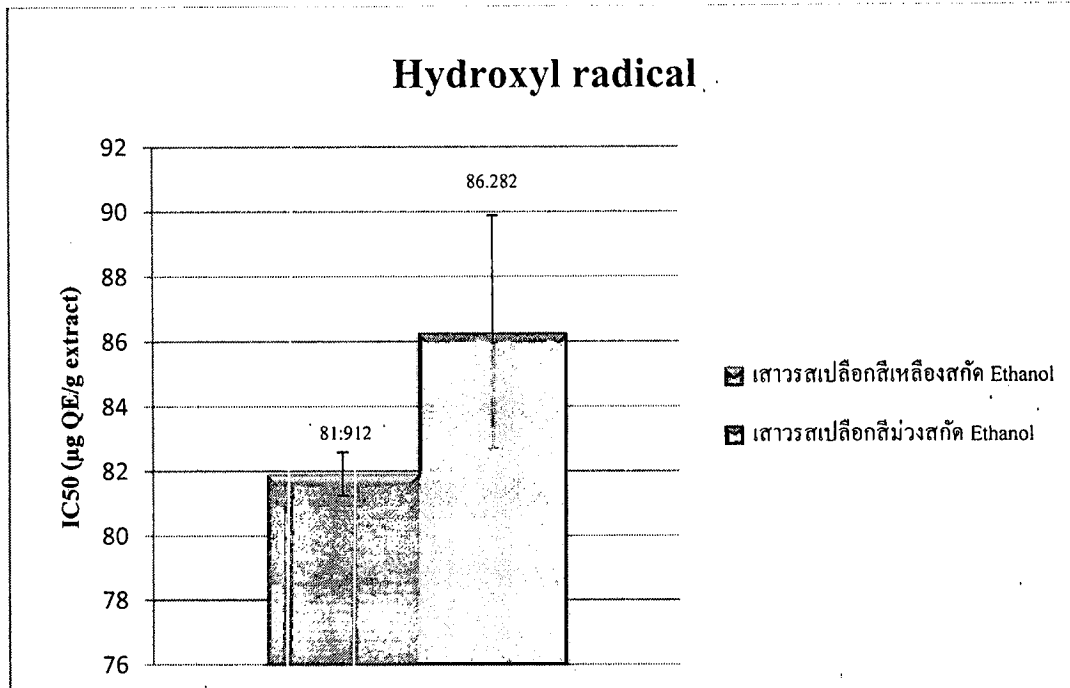
จากผลการวิเคราะห์ฤทธิ์ในการกำจัดสารอนุมูลอิสระ DPPH (DPPH scavenging) พบว่า สารสกัดสาหรับ 1 กรัมมีความสามารถในการกำจัดสารอนุมูลอิสระ DPPH เทียบเท่ากับ Trolox ที่ปริมาณ  $5.3 \pm 0.7$ ,  $6.1 \pm 1.7$ ,  $5.3 \pm 0.1$  และ  $5.7 \pm 0.3$  ไมโครโมล (Trolox ( $5.3 \pm 0.7$ ,  $6.1 \pm 1.7$ ,  $5.3 \pm 0.1$  และ  $5.7 \pm 0.3$   $\mu\text{mol}$  Trolox/g extract) สำหรับสาหรับเปลือกเหลืองที่สกัดด้วยน้ำ สาหรับเปลือกเหลืองที่สกัดด้วย 80% เอทานอล สาหรับเปลือกม่วงที่สกัดด้วยน้ำ และสาหรับเปลือกม่วงที่สกัดด้วย 80% เอทานอล ตามลำดับ

ตารางที่ 10 แสดงผลการวิเคราะห์ฤทธิ์ในการกำจัดสารอนุมูลอิสระ DPPH (DPPH scavenging)

	DPPH scavenging ( $\mu\text{mol Trolox/g extract}$ )
สารสเปลือกเหลืองที่สกัดด้วยน้ำ	$5.3 \pm 0.7$
สารสเปลือกเหลืองที่สกัดด้วย 80% เอทานอล	$6.1 \pm 1.7$
สารสเปลือกม่วงที่สกัดด้วยน้ำ	$5.3 \pm 0.1$
สารสเปลือกม่วงที่สกัดด้วย 80% เอทานอล	$5.7 \pm 0.3$

## 12. การทดสอบฤทธิ์กำจัด Hydroxyl radical ( $\text{OH}^{\bullet}$ scavenging activity assay)

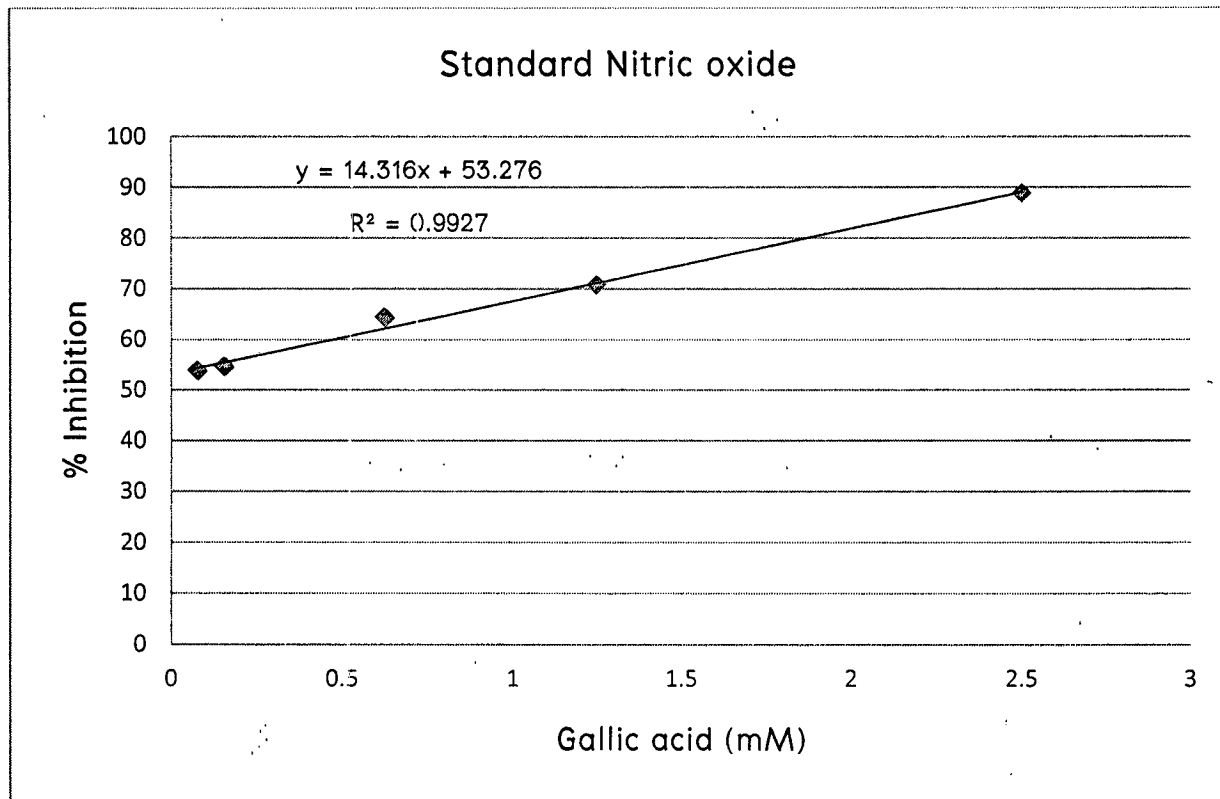
การทดสอบฤทธิ์กำจัด hydroxyl radical ของสารสกัดเสาวรส การรายงานผลจะรายงานในรูปของ เปอร์เซ็นต์การกำจัด hydroxyl radical (Percentage of  $\text{OH}^{\bullet}$  scavenging) เทียบกับสารมาตรฐาน quercetin จาก ผลการวิเคราะห์พบว่า สารสกัดเสาวรส 1 กรัมมีความสามารถในการกำจัด hydroxyl radical เทียบเท่ากับ quercetin ที่ปริมาณ  $81.9 \pm 0.7$  และ  $86.3 \pm 3.6$  ไมโครกรัม quercetin ( $81.9 \pm 0.7$  และ  $86.3 \pm 3.6 \mu\text{g QE/g extract}$ ) สำหรับเสาวรสเปลือกเหลืองที่สกัดด้วย 80% เอทานอล และเสาวรสเปลือกม่วงที่สกัดด้วย 80% เอทานอล ตามลำดับ ส่วนเสาวรสเปลือกเหลืองที่สกัดด้วยน้ำและเสาวรสเปลือกม่วงที่สกัดด้วยน้ำไม่มีฤทธิ์ในการกำจัด hydroxyl radical (รูปที่ 21)



รูปที่ 21 กราฟแสดงเปอร์เซ็นต์การกำจัด hydroxyl radical เทียบกับสารมาตรฐาน quercetin

### 13. การทดสอบฤทธิ์ต้านการอักเสบ

#### โดยวิธี Nitric oxide scavenging



รูปที่ 22 กราฟแสดงความสัมพันธ์ระหว่างปริมาณความเข้มข้นของสารมาตรฐาน gallic acid กับค่า % inhibition

จากผลการวิเคราะห์ฤทธิ์ในการต้านการอักเสบ (NO scavenging) พบว่า สารสกัดเสาธงชาติ กรมมีความสามารถในการต้านการอักเสบที่ยับเท่ากับ gallic acid ที่ปริมาณ  $1.4 \pm 0.2$ ,  $3.0 \pm 0.7$ ,  $1.6 \pm 0.2$  และ  $3.4 \pm 0.03$  ไมโครโมล gallic acid ( $1.4 \pm 0.2$ ,  $3.0 \pm 0.7$ ,  $1.6 \pm 0.2$  และ  $3.4 \pm 0.03$   $\mu\text{mol GA/g extract}$ ) สำหรับสารสเปล็อกเหลืองที่สกัดด้วยน้ำ เสาธงชาติ สเปล็อกเหลืองที่สกัดด้วย 80% เอทานอล เสาธงชาติ สเปล็อก ม่วงที่สกัดด้วยน้ำ และเสาธงชาติ สเปล็อกม่วงที่สกัดด้วย 80% เอทานอล ตามลำดับ

ตารางที่ 11 แสดงผลการทดสอบฤทธิ์ต้านการอักเสบ

	Nitric oxide scavenging ( $\mu\text{mol GA/g extract}$ )
สาหรสเปลือกเหลืองที่สกัดด้วยน้ำ	$1.4 \pm 0.2$
สาหรสเปลือกเหลืองที่สกัดด้วย 80% เอทานอล	$3.0 \pm 0.7$
สาหรสเปลือกม่วงที่สกัดด้วยน้ำ	$1.6 \pm 0.2$
สาหรสเปลือกม่วงที่สกัดด้วย 80% เอทานอล	$3.4 \pm 0.03$

## 2. การศึกษาในกลุ่มอาสาสมัครผู้สูงอายุ

### 1. ผลการตรวจวัดความสมบูรณ์ของเลือดของอาสาสมัคร

ดังแสดงในตารางที่ 12 และ 13

ตารางที่ 12 แสดงผลการตรวจวัดความสมบูรณ์ของเลือดของอาสาสมัครเพศชาย

	เพศชายกลุ่มเสาวรสเปลี่ยนสีม่วง		เพศชายกลุ่มเสาวรสเปลี่ยนสีเหลือง	
	ก่อนคิม	หลังคิม	ก่อนคิม	หลังคิม
Hemoglobin (10 – 16 mg/dl)	14.2 ± 2.0	13.9 ± 2.1	14.5 ± 1.7	14.1 ± 1.5
Hematocrit (36 – 50%)	43.8 ± 5.9	43.3 ± 6.3	44.3 ± 4.9	44.1 ± 4.2
White blood cells (5 - 10) × 10 <sup>3</sup> cell/cu.mm.	6.0 ± 1.8	5.7 ± 1.6	6.7 ± 1.5	6.5 ± 1.5
Red blood cells (3.8 – 5.3) × 10 <sup>6</sup> cell/cu.mm.	4.9 ± 0.7	4.9 ± 0.8	5.3 ± 0.9	5.2 ± 0.9
Platelets (140 - 440) × 10 <sup>3</sup> / cu.mm.	201.0 ± 87.4	218.4 ± 58.3	198.9 ± 44.6	183.0 ± 45.0
Neutrophil (%)	51.1 ± 6.0	56.6 ± 4.3	56.0 ± 9.2	57.6 ± 4.2
Lymphocyte (%)	37.6 ± 7.3	36.2 ± 4.7	38.1 ± 8.7	34.9 ± 3.8
Monocyte (%)	5.3 ± 1.9	4.9 ± 1.6	3.5 ± 2.3	5.2 ± 2.0
Eosinophil (%)	6.1 ± 5.9	2.4 ± 1.4	2.4 ± 2.4	2.2 ± 0.9
Basophil (%)	0.0	0.0	0.0	0.0

**ตารางที่ 13 แสดงผลการตรวจค่าความสมบูรณ์ของเลือดของยาสามัคคีแพทย์**

	เพศหญิงกลุ่มเสาวรสเปลือกสีขาว		เพศหญิงกลุ่มเสาวรสเปลือกสีเหลือง	
	ก่อนดื่ม	หลังดื่ม	ก่อนดื่ม	หลังดื่ม
Hemoglobin (10 – 16 mg/dl)	12.8 ± 1.3	12.5 ± 1.4	12.3 ± 1.4	12.4 ± 1.4
Hematocrit (36 – 50%)	37.1 ± 9.4	38.9 ± 3.8	38.5 ± 3.8	38.8 ± 3.6
White blood cells (5 - 10) × 10 <sup>3</sup> cell/cu.mm.	7.1 ± 1.8	7.4 ± 2.4	5.8 ± 1.5	5.8 ± 1.9
Red blood cells (3.8 – 5.3) × 10 <sup>6</sup> cell/cu.mm.	4.7 ± 0.5	4.7 ± 0.5	4.7 ± 0.6	4.8 ± 0.6
Platelets (140 - 440) × 10 <sup>3</sup> / cu.mm.	258.5 ± 85.9	249.4 ± 78.0	250.2 ± 76.1	241.5 ± 73.2
Neutrophil (%)	53.9 ± 10.4	54.9 ± 6.5	53.1 ± 10.7	56.9 ± 7.3
Lymphocyte (%)	41.8 ± 11.4	37.7 ± 5.4	41.3 ± 10.4	37.9 ± 6.7
Monocyte (%)	1.9 ± 1.4	4.5 ± 1.7	3.9 ± 1.9	3.5 ± 2.0
Eosinophil (%)	2.4 ± 2.2	2.1 ± 0.8	2.4 ± 1.7	1.6 ± 1.2
Basophil (%)	0.0	0.0	0.0	0.1 ± 0.3

2. ผลการตรวจวัดระดับ Blood chemistry

ดังแสดงในตารางที่ 14 และ 15

ตารางที่ 14 แสดงผลการตรวจวัดระดับ Blood chemistry ของอาสาสมัครแพทย์

	เพศชายคุณสาวรสเปล็อกสีม่วง	เพศชายคุณสาวรสเปล็อกสีเหลือง		
	ก่อนคิ่ม	หลังคิ่ม	ก่อนคิ่ม	หลังคิ่ม
Glucose (74 – 106 mg/dl)	87.5 ± 7.5	92.7 ± 6.1	97.1 ± 17.3	100.0 ± 16.4
BUN (8 – 20 mg/dl)	18.3 ± 5.4	14.2 ± 3.3	15.3 ± 3.5	13.2 ± 3.9
Creatinine (0.51 – 1.17 mg/dl)	1.1 ± 0.3	1.0 ± 0.3	1.1 ± 0.2	1.1 ± 0.2
Cholesterol (0 – 240 mg/dl)	215.4 ± 41.0	207.0 ± 31.1	212.9 ± 48.8	199.7 ± 27.9
Triglyceride (0 – 200 mg/dl)	100.4 ± 29.3	134.7 ± 36.4	167.5 ± 98.1	175.7 ± 123.3
HDL (55 – 99 mg/dl)	53.7 ± 11.3	44.2 ± 9.9	50.5 ± 12.4	46.2 ± 13.3
LDL (0 – 100 mg/dl)	148.3 ± 26.1	135.8 ± 26.8	128.9 ± 46.7	118.4 ± 27.2
Total protein (6.6 – 8.3 g/dl)	8.0 ± 0.5	7.8 ± 0.6	7.7 ± 0.5	7.6 ± 0.4
Albumin (3.5 – 5.2 g/dl)	4.3 ± 0.2	4.1 ± 0.3	4.3 ± 0.3	4.3 ± 0.2
Globulin (2.4 – 3.5 g/dl)	3.7 ± 0.6	3.7 ± 0.7	3.3 ± 0.4	3.3 ± 0.3
Total bilirubin (0.3 – 1.2 mg/dl)	0.7 ± 0.2	0.6 ± 0.3	0.6 ± 0.3	0.7 ± 0.3
Direct bilirubin (0 – 0.2 mg/dl)	0.1 ± 0.04	0.1 ± 0.04	0.1 ± 0.1	0.2 ± 0.1
Indirect bilirubin (0.2 – 0.8 mg/dl)	0.6 ± 0.2	0.5 ± 0.2	0.5 ± 0.2	0.6 ± 0.3
AST (0 – 50 U/L)	21.2 ± 4.9	24.8 ± 9.0	27.7 ± 13.1	28.5 ± 15.9
ALT (0 – 50 U/L)	15.6 ± 5.2	17.0 ± 6.2	25.9 ± 14.2	25.0 ± 16.9
Alkaline phosphatase (30 – 120 U/L)	72.8 ± 17.9	73.8 ± 16.2	73.1 ± 22.1	74.1 ± 21.0
Uric acid (2.6 – 7.2 mg/dl)	6.6 ± 1.3	6.5 ± 0.9	7.1 ± 2.2	7.1 ± 2.1

ตารางที่ 15 แสดงผลการตรวจวัดระดับ Blood chemistry ของอาสาสมัครแพทย์หญิง

	เพศหญิงกลุ่มสาวรสเปลี่ยนเสียง		เพศหญิงกลุ่มสาวรสเปลี่ยนเสียง	
	ก่อนคิม	หลังคิม	ก่อนคิม	หลังคิม
Glucose (74 – 106 mg/dl)	86.7 ± 7.0	88.5 ± 5.8	90.1 ± 14.7	95.3 ± 17.2
BUN (8 – 20 mg/dl)	16.6 ± 4.8	15.1 ± 5.0	14.1 ± 3.5	13.7 ± 3.0
Creatinine (0.51 – 1.17 mg/dl)	0.8 ± 0.2	0.7 ± 0.2	0.7 ± 0.2	0.7 ± 0.2
Cholesterol (0 – 240 mg/dl)	239.2 ± 45.9	235.0 ± 42.6	219.0 ± 42.4	220.3 ± 46.4
Triglyceride (0 – 200 mg/dl)	125.0 ± 48.6	125.0 ± 33.5	115.0 ± 55.3	113.9 ± 35.9
HDL (55 – 99 mg/dl)	58.6 ± 8.3	54.7 ± 10.3	58.8 ± 14.2	55.7 ± 15.1
LDL (0 – 100 mg/dl)	156.0 ± 42.4	155.2 ± 37.9	137.2 ± 40.3	141.8 ± 45.3
Total protein (6.6 – 8.3 g/dl)	7.9 ± 0.5	7.8 ± 0.4	7.9 ± 0.5	7.8 ± 0.6
Albumin (3.5 – 5.2 g/dl)	4.3 ± 0.2	4.2 ± 0.2	4.3 ± 0.3	4.3 ± 0.3
Globulin (2.4 – 3.5 g/dl)	3.7 ± 0.4	3.5 ± 0.4	3.6 ± 0.6	3.5 ± 0.7
Total bilirubin (0.3 – 1.2 mg/dl)	0.6 ± 0.1	0.6 ± 0.2	0.6 ± 0.1	0.6 ± 0.1
Direct bilirubin (0 – 0.2 mg/dl)	0.1 ± 0.03	0.1 ± 0.04	0.1 ± 0.03	0.1 ± 0.03
Indirect bilirubin (0.2 – 0.8 mg/dl)	0.5 ± 0.1	0.5 ± 0.2	0.5 ± 0.1	0.5 ± 0.1
AST (0 – 50 U/L)	23.4 ± 7.9	23.2 ± 5.0	29.8 ± 15.8	29.2 ± 16.9
ALT (0 – 50 U/L)	20.0 ± 9.2	17.2 ± 6.7	23.5 ± 12.1	21.6 ± 12.0
Alkaline phosphatase (30 – 120 U/L)	97.2 ± 32.9	94.7 ± 22.1	89.5 ± 25.2	90.9 ± 25.1
Uric acid (2.6 – 7.2 mg/dl)	6.0 ± 1.1	5.9 ± 1.2	5.1 ± 1.5	5.2 ± 1.5

### 3. ผลการตรวจระดับวิตามิน

พบว่าปริมาณของวิตามินซีลดลงอย่างมีนัยสำคัญในผู้ชายที่ดื่มน้ำเสาวรสเปลือกน่องและผู้หญิงที่ดื่มน้ำเสาวรสเปลือกเหลือง ปริมาณวิตามินยังเพิ่มขึ้นอย่างมีนัยสำคัญในผู้ชายที่ดื่มน้ำเสาวรสหั้งเปลือกน่องและเปลือกเหลืองและผู้หญิงที่ดื่มน้ำเสาวรสหั้งเปลือกน่องและเปลือกเหลือง ดังแสดงในตารางที่ 16 และ 17

ตารางที่ 16 แสดงผลการตรวจระดับวิตามินของอาสาสมัครเพศชาย

	เพศชายกลุ่มเสาวรสเปลือกสีน่อง		เพศชายกลุ่มเสาวรสเปลือกสีเหลือง	
	ก่อนดื่ม	หลังดื่ม	ก่อนดื่ม	หลังดื่ม
วิตามิน ซี	1.1 ± 0.4	0.5 ± 0.2*	1.1 ± 0.5	0.8 ± 0.5
วิตามิน อี	0.7 ± 0.4	0.8 ± 0.**	0.5 ± 0.3	0.5 ± 0.3*
วิตามิน เอ	0.3 ± 0.1	0.4 ± 0.1**	0.4 ± 0.1	0.4 ± 0.1**

\* นัยสำคัญทางสถิติ ( $p < 0.01$ ), \*\* นัยสำคัญทางสถิติ ( $p < 0.001$ ) โดยเทียบกันระหว่างก่อนและหลังดื่มน้ำเสาวรสนอกกลุ่ม

ตารางที่ 17 แสดงผลการตรวจระดับวิตามินของอาสาสมัครเพศหญิง

	เพศหญิงกลุ่มเสาวรสเปลือกสีน่อง		เพศหญิงกลุ่มเสาวรสเปลือกสีเหลือง	
	ก่อนดื่ม	หลังดื่ม	ก่อนดื่ม	หลังดื่ม
วิตามิน ซี	0.9 ± 0.4	0.8 ± 0.4	0.9 ± 0.5	0.6 ± 0.3**
วิตามิน อี	0.7 ± 0.4	0.8 ± 0.4**	0.7 ± 0.4	0.7 ± 0.3
วิตามิน เอ	0.4 ± 0.1	0.6 ± 0.1**	0.4 ± 0.1	0.5 ± 0.1**

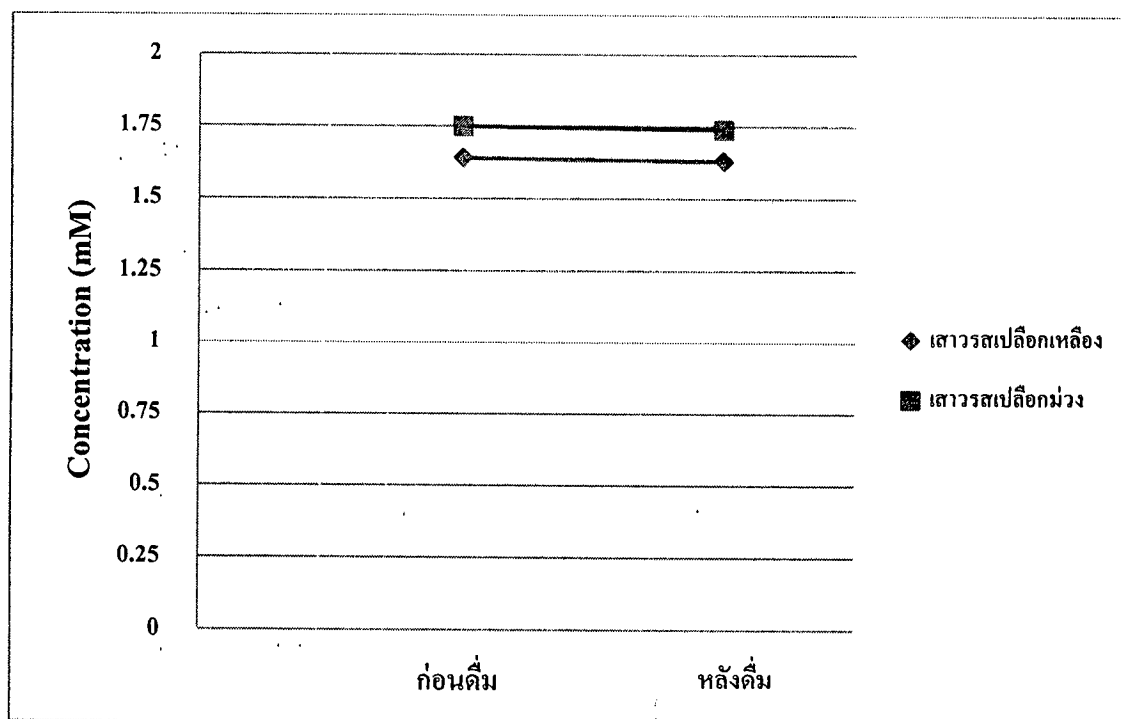
\*\* นัยสำคัญทางสถิติ ( $p < 0.001$ ) โดยเทียบกันระหว่างก่อนและหลังดื่มน้ำเสาวรสนอกกลุ่ม

#### 4. ผลการวิเคราะห์หาฤทธิ์ต้านอนุมูลอิสระ

##### 4.1 การทดสอบฤทธิ์ต้านอนุมูลอิสระโดยรวม (Total antioxidant capacity)

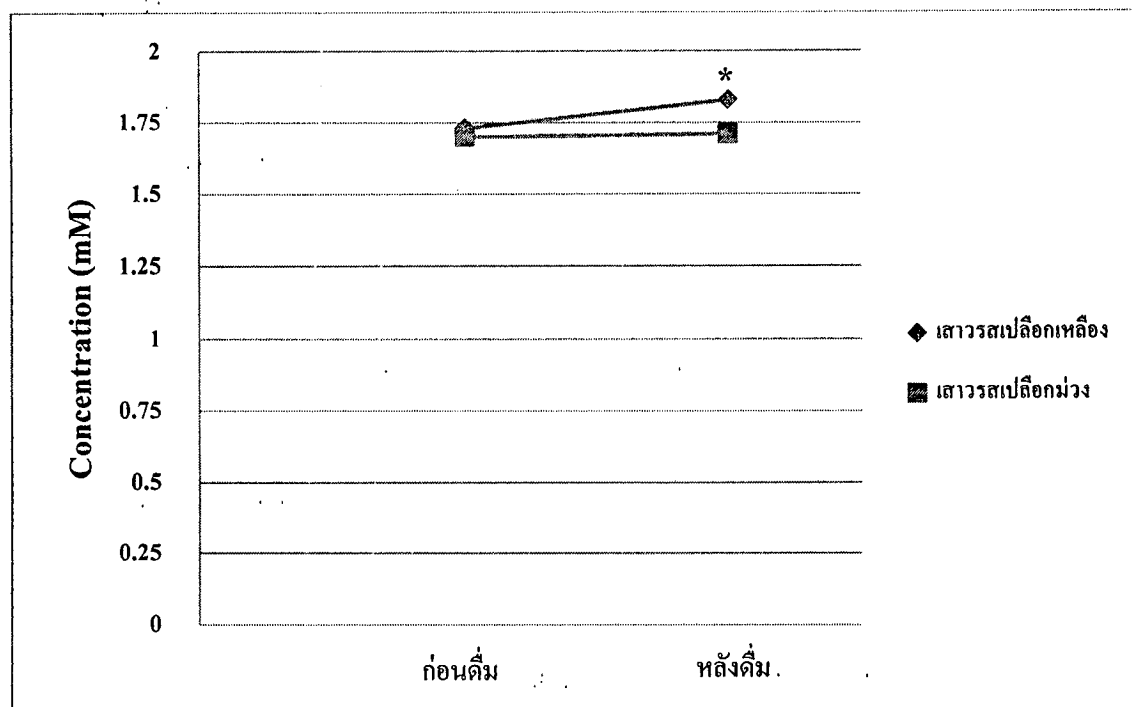
โดยใช้รีดีวิช 2,2'-azino-bis(3-ethylbenzthiazoline-6-sulphonic acid) (ABTS) decolorization assay

ในการศึกษาครั้งนี้ได้เปรียบเทียบอัตราการลดลงของสาร ABTS cation radical และคำนวณหา เปอร์เซ็นต์การยับยั้ง (% inhibition) ของซีรัม เพื่อมาคำนวณเปรียบเทียบกับสารมาตรฐานของ Trolox จากผลการวิเคราะห์ฤทธิ์ต้านอนุมูลอิสระโดยรวม (Total antioxidant capacity; TAC) พบว่า ในกลุ่มผู้ชาย ก่อนดื่มและหลังดื่มน้ำเสาวรสเปลือกสีเหลืองมีฤทธิ์ต้านอนุมูลอิสระเทียบเท่ากับสารมาตรฐาน Trolox ที่มี ความเข้มข้น  $1.64 \pm 0.03$  และ  $1.63 \pm 0.03$  mM ตามลำดับ สำหรับกลุ่มผู้ชายก่อนดื่มและหลังดื่มน้ำเสาวรส เปลือกม่วงมีฤทธิ์ต้านอนุมูลอิสระเทียบเท่ากับสารมาตรฐาน Trolox ที่มีความเข้มข้น  $1.75 \pm 0.02$  และ  $1.74 \pm 0.04$  mM ตามลำดับ



รูปที่ 23 กราฟแสดงฤทธิ์ต้าน ABTS cation radical ในผู้ชาย กลุ่มที่ดื่มน้ำเสาวรสเปลือกเหลืองก่อนดื่มและ หลังดื่ม และกลุ่มที่ดื่มน้ำเสาวรสเปลือกม่วงก่อนดื่มและหลังดื่ม เปรียบเทียบกันระหว่างก่อนดื่มและหลังดื่ม

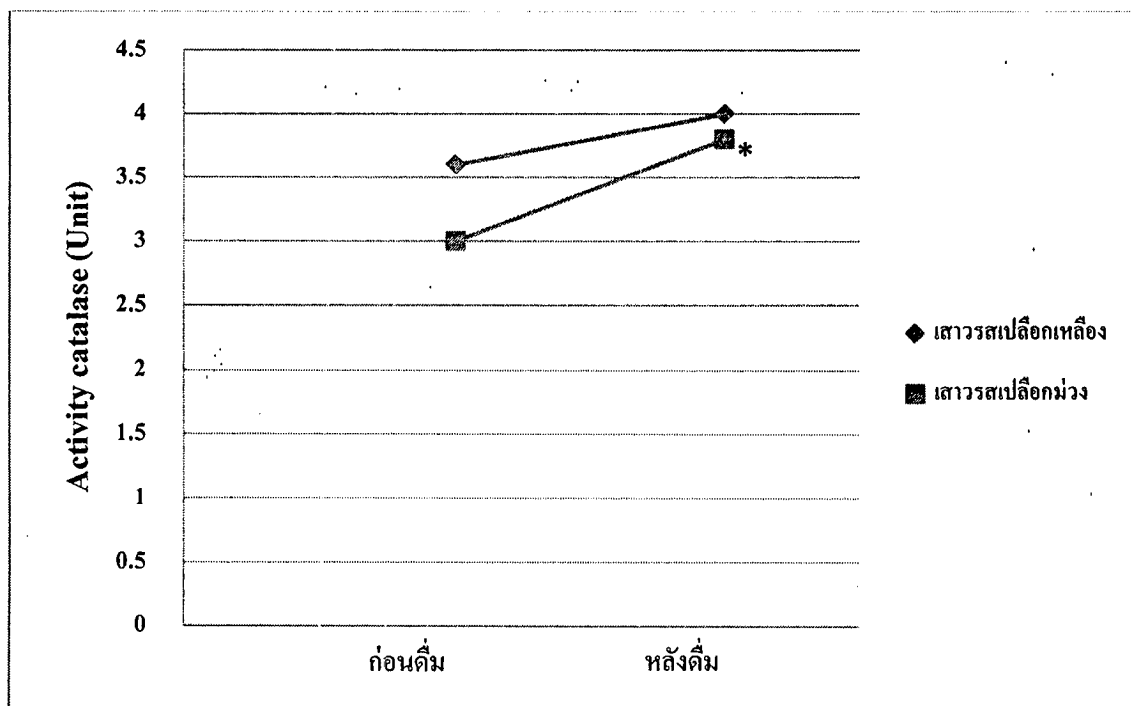
ส่วนในกลุ่มผู้หญิงมีฤทธิ์ต้านอนุมูลอิสระเทียบเท่ากับสารมาตรฐาน Trolox ที่มีความเข้มข้นเท่ากับ  $1.7 \pm 0.1$  และ  $1.8 \pm 0.1$  mM สำหรับผู้หญิงที่คื่นน้ำเสาวรสเปลือกเหลืองเบรียบเทียบกันระหว่างก่อนคื่นและหลังคื่น ตามลำดับ และมีฤทธิ์ต้านอนุมูลอิสระเทียบเท่ากับสารมาตรฐาน Trolox ที่มีความเข้มข้นเท่ากับ  $1.7 \pm 0.1$  และ  $1.7 \pm 0.1$  mM สำหรับผู้หญิงที่คื่นน้ำเสาวรสเปลือกม่วงเบรียบเทียบกันระหว่างก่อนคื่นและหลังคื่น ตามลำดับ พนว่ากลุ่มผู้หญิงที่คื่นน้ำเสาวรสเปลือกเหลืองมีความสามารถต้านอนุมูลอิสระเพิ่มขึ้นอย่างมีนัยสำคัญทางสถิติเมื่อเทียบกับก่อนคื่น ( $p < 0.01$ )



รูปที่ 24 กราฟแสดงฤทธิ์ต้าน ABTS cation radical ในผู้หญิง กลุ่มที่คื่นน้ำเสาวรสเปลือกเหลืองก่อนคื่นและหลังคื่น และกลุ่มที่คื่นน้ำเสาวรสเปลือกม่วงก่อนคื่นและหลังคื่น เบรียบเทียบกันระหว่างก่อนคื่นและหลังคื่น  
\* นัยสำคัญ  $p < 0.01$

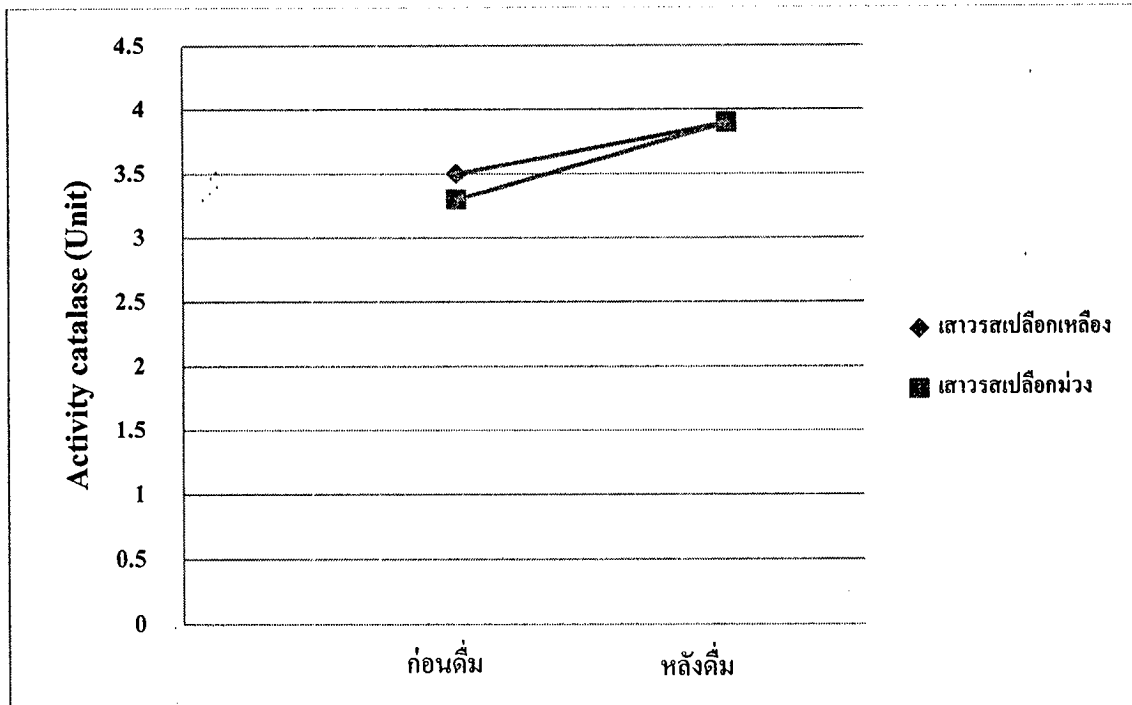
#### 4.2 การตรวจวัดการทำงานของเอนไซม์ catalase (Erythrocyte catalase assay)

จากผลการวิเคราะห์พบว่าค่าการทำงานของเอนไซม์ catalase ในกลุ่มผู้ชายก่อนดื่มและหลังดื่มน้ำเสาวรสเปลือกเหลืองมีค่าเท่ากัน  $3.6 \pm 1.4$  และ  $4.0 \pm 0.7$  unit ตามลำดับ สำหรับกลุ่มผู้ชายก่อนดื่มและหลังดื่มน้ำเสาวรสเปลือกม่วงมีค่าเท่ากัน  $3.0 \pm 1.0$  และ  $3.8 \pm 0.5$  unit ตามลำดับ โดยในกลุ่มที่ดื่มน้ำเสาวรสเปลือกม่วงมีการทำงานของเอนไซม์ catalase เพิ่มขึ้นอย่างมีนัยสำคัญทางสถิติเมื่อเทียบกับก่อนดื่ม ( $p < 0.01$ )



รูปที่ 25 กราฟแสดงการทำงานของเอนไซม์ catalase ในเพศชาย กลุ่มที่ดื่มน้ำเสาวรสเปลือกเหลืองก่อนดื่ม และหลังดื่ม และกลุ่มที่ดื่มน้ำเสาวรสเปลือกม่วงก่อนดื่มและหลังดื่ม เปรียบเทียบกันระหว่างก่อนดื่มและหลังดื่ม \* นัยสำคัญ  $p < 0.01$

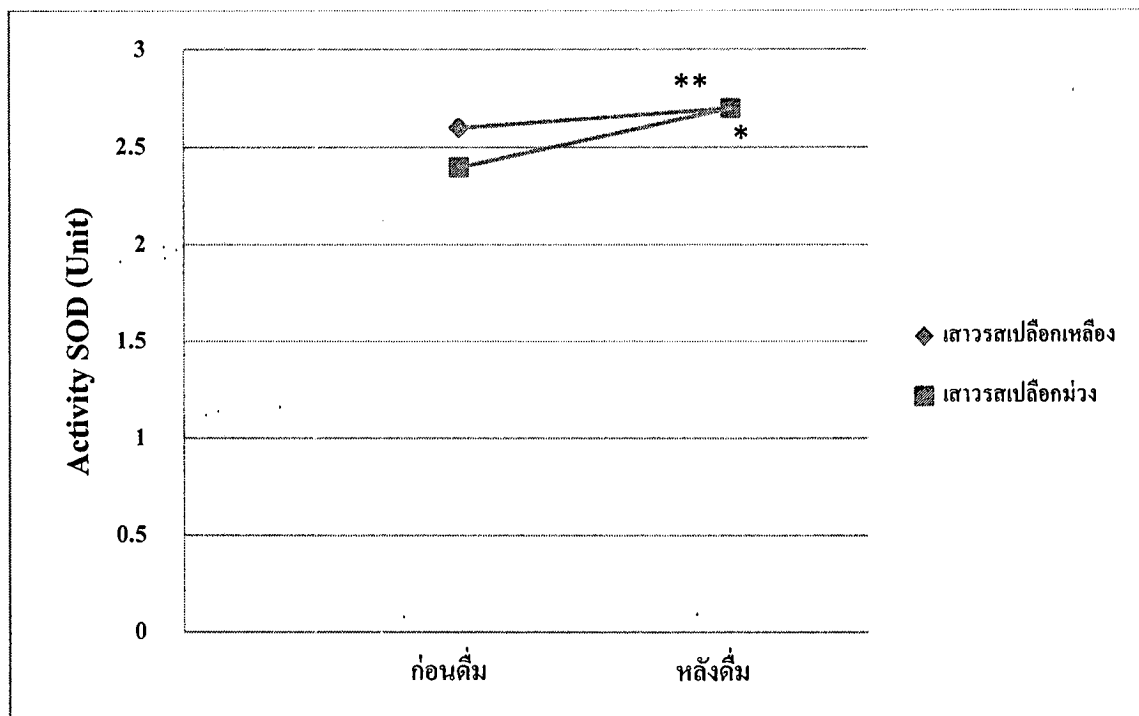
จากผลการวิเคราะห์พบว่าค่าการทำงานของเอนไซม์ catalase ในกลุ่มผู้หญิงก่อนคื่นและหลังคื่นน้ำเสาวรสเปลือกสีเหลืองมีค่าเท่ากับ  $3.5 \pm 1.3$  และ  $3.9 \pm 0.7$  unit ตามลำดับ สำหรับกลุ่มผู้ชายก่อนคื่นและหลังคื่นน้ำเสาวรสเปลือกม่วงมีค่าเท่ากับ  $3.3 \pm 0.8$  และ  $3.9 \pm 0.7$  unit ตามลำดับ



รูปที่ 26 กราฟแสดงการทำงานของเอนไซม์ catalase ในเพศหญิง กลุ่มที่คื่นน้ำเสาวรสเปลือกเหลืองก่อนคื่น และหลังคื่น และกลุ่มที่คื่นน้ำเสาวรสเปลือกม่วงก่อนคื่นและหลังคื่น เปรียบเทียบกันระหว่างก่อนคื่นและหลังคื่น

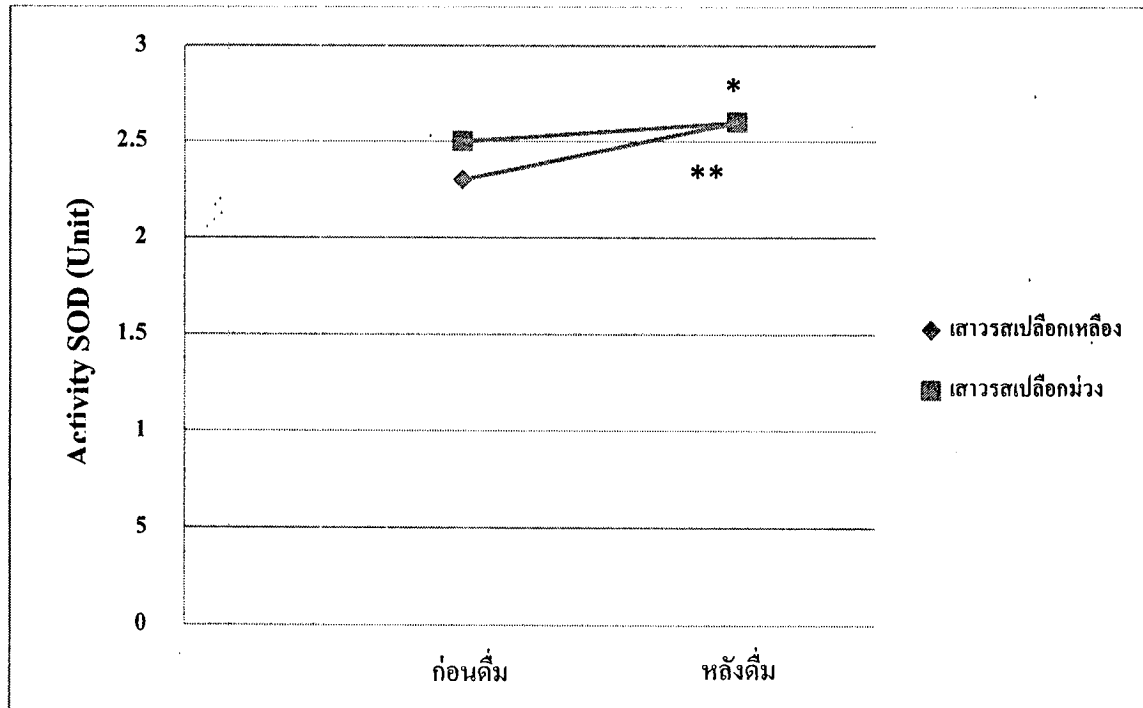
### 4.3 การตรวจวัดการทำงานของเอนไซม์ superoxide dismutase ในเม็ดเลือดแดง (Erythrocyte superoxide dismutase assay)

จากผลการวิเคราะห์พบว่าค่าการทำงานของเอนไซม์ superoxide dismutase ในเม็ดเลือดแดงของกลุ่มผู้ชายก่อนคิมและหลังคิมน้ำเสาวรสเปลือกสีเหลืองมีค่าเท่ากับ  $2.6 \pm 0.1$  และ  $2.7 \pm 0.1$  Unit ตามลำดับ สำหรับกลุ่มผู้ชายก่อนคิมและหลังคิมน้ำเสาวรสเปลือกม่วงมีค่าเท่ากับ  $2.4 \pm 0.2$  และ  $2.7 \pm 0.2$  Unit ตามลำดับ โดยในกลุ่มที่คิมน้ำเสาวรสเปลือกเหลืองมีการทำงานของเอนไซม์ superoxide dismutase เพิ่มขึ้นอย่างมีนัยสำคัญทางสถิติเมื่อเทียบกับก่อนคิม ( $p < 0.05$ ) และกลุ่มที่คิมน้ำเสาวรสเปลือกม่วงมีการทำงานของเอนไซม์ superoxide dismutase เพิ่มขึ้นอย่างมีนัยสำคัญทางสถิติเมื่อเทียบกับก่อนคิม ( $p < 0.001$ )



รูปที่ 27 กราฟแสดงการทำงานของเอนไซม์ superoxide dismutase ในผู้ชาย กลุ่มที่คิมน้ำเสาวรสเปลือกเหลืองก่อนคิมและหลังคิม และกลุ่มที่คิมน้ำเสาวรสเปลือกม่วงก่อนคิมและหลังคิม เปรียบเทียบกันระหว่างก่อนคิมและหลังคิม ที่ระดับนัยสำคัญ \* นัยสำคัญ  $p < 0.001$  และ \*\* นัยสำคัญ  $p < 0.05$

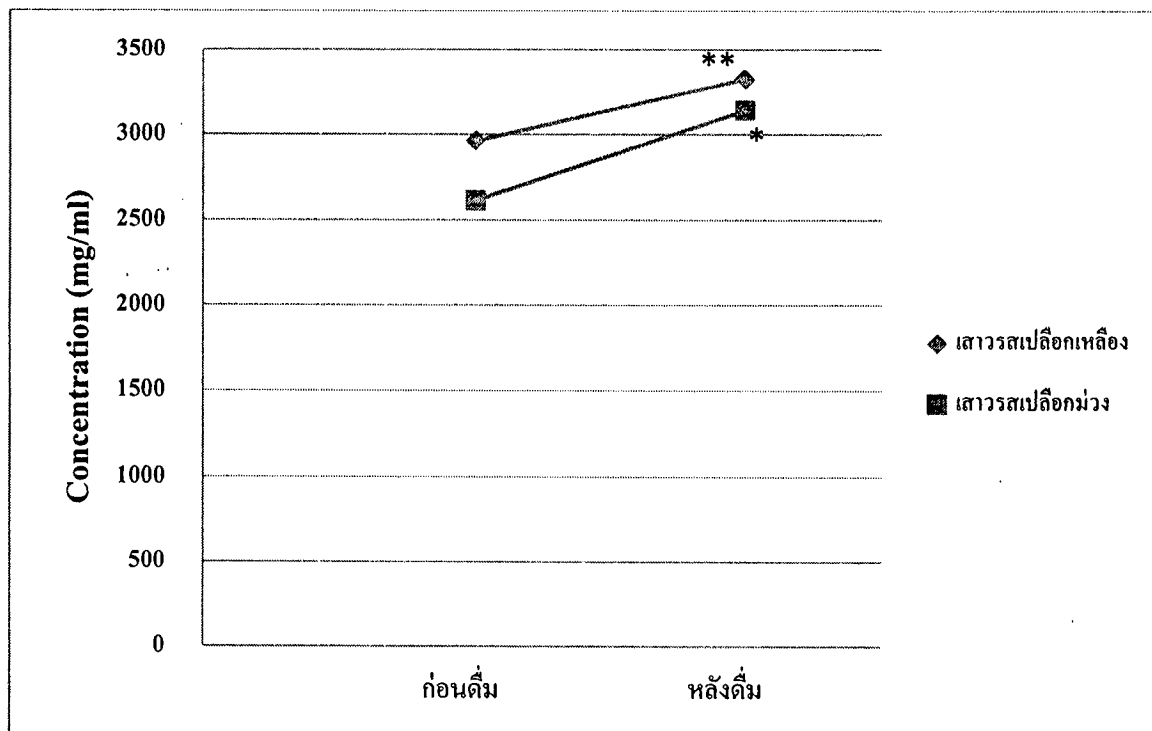
ส่วนค่าการทำงานของเอนไซม์ superoxide dismutase ในเม็ดเลือดแดงของกลุ่มผู้หญิงก่อนคลื่นและหลังคลื่นน้ำเสาวรสเปลีอิกสีเหลืองมีค่าเท่ากับ  $2.3 \pm 0.2$  และ  $2.6 \pm 0.2$  Unit ตามลำดับ สำหรับกลุ่มผู้หญิงก่อนคลื่นและหลังคลื่นน้ำเสาวรสเปลีอิกม่วงมีค่าเท่ากับ  $2.5 \pm 0.2$  และ  $2.6 \pm 0.3$  Unit ตามลำดับ โดยในกลุ่มที่คื่นน้ำเสาวรสเปลีอิกเหลืองมีการทำงานของเอนไซม์ superoxide dismutase เพิ่มขึ้นอย่างมีนัยสำคัญทางสถิติเมื่อเทียบกับก่อนคลื่น ( $p < 0.005$ ) และกลุ่มที่คื่นน้ำเสาวรสเปลีอิกม่วงมีการทำงานของเอนไซม์ superoxide dismutase เพิ่มขึ้นอย่างมีนัยสำคัญทางสถิติเมื่อเทียบกับก่อนคลื่น ( $p < 0.01$ )



รูปที่ 28 กราฟแสดงการทำงานของเอนไซม์ superoxide dismutase ในผู้หญิง กลุ่มที่คื่นน้ำเสาวรสเปลีอิกเหลืองก่อนคลื่นและหลังคลื่น และกลุ่มที่คื่นน้ำเสาวรสเปลีอิกม่วงก่อนคลื่นและหลังคลื่น เปรียบเทียบกันระหว่างก่อนคลื่นและหลังคลื่น ที่ระดับนัยสำคัญ \* นัยสำคัญ  $p < 0.01$  และ \*\* นัยสำคัญ  $p < 0.005$

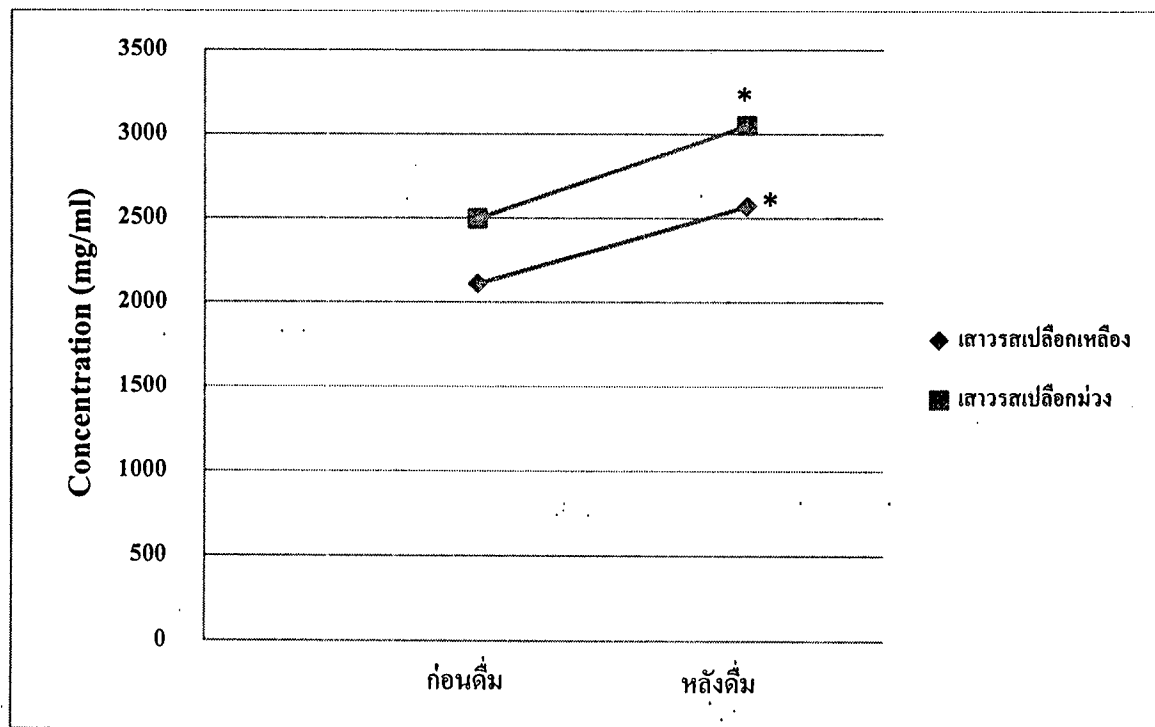
4.4 การทดสอบความสามารถในการรีดิวส์  $\text{Fe}^{3+}$  เป็น  $\text{Fe}^{2+}$  (Ferric reducing antioxidant power assay)

จากการวิเคราะห์พบว่าความสามารถในการรีดิวส์เฟอร์ริกเป็นเฟอร์รัสในกลุ่มผู้ชายก่อนดื่มและหลังดื่มน้ำเสาวรสเปลือกเหลืองมีค่าเท่ากับ  $3.0 \pm 0.9$  และ  $3.3 \pm 0.8 \mu\text{g/ml}$  ตามลำดับ สำหรับกลุ่มผู้ชาย ก่อนดื่มและหลังดื่มน้ำเสาวรสเปลือกม่วงมีค่าเท่ากับ  $6.4 \pm 0.5$  และ  $3.1 \pm 0.5 \mu\text{g/ml}$  ตามลำดับ โดยในกลุ่มที่ดื่มน้ำเสาวรสเปลือกเหลืองมีความสามารถในการรีดิวส์เฟอร์ริกเป็นเฟอร์รัสเพิ่มขึ้นอย่างมีนัยสำคัญทางสถิติเมื่อเทียบกับก่อนดื่ม ( $p < 0.05$ ) และกลุ่มที่ดื่มน้ำเสาวรสเปลือกม่วงมีความสามารถในการรีดิวส์เฟอร์ริกเป็นเฟอร์รัสเพิ่มขึ้นอย่างมีนัยสำคัญทางสถิติเมื่อเทียบกับก่อนดื่ม ( $p < 0.001$ )



รูปที่ 29 グラฟแสดงความสามารถในการรีดิวส์เฟอร์ริกเป็นเฟอร์รัสในผู้ชาย กลุ่มที่ดื่มน้ำเสาวรสเปลือกเหลืองก่อนดื่มและหลังดื่ม และกลุ่มที่ดื่มน้ำเสาวรสเปลือกม่วงก่อนดื่มและหลังดื่ม เปรียบเทียบกันระหว่าง ก่อนดื่มและหลังดื่ม ที่ระดับนัยสำคัญ \* นัยสำคัญ  $p < 0.001$  และ \*\* นัยสำคัญ  $p < 0.05$

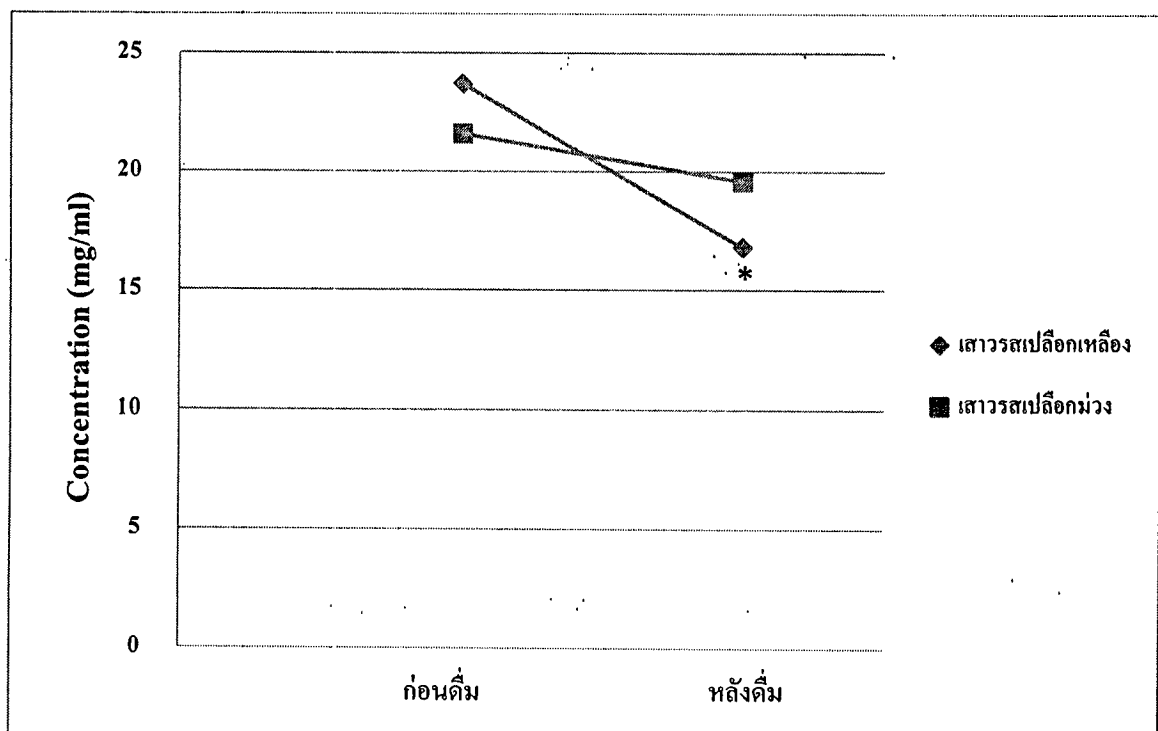
จากผลการวิเคราะห์พบว่าความสามารถในการรีดิวส์เพอร์ริกเป็นเฟอร์รัสในกลุ่มผู้หญิงก่อนคื่นและหลังคื่นน้ำเสาวรสเปลือกสีเหลืองมีค่าเท่ากับ  $2.1 \pm 0.5$  และ  $2.6 \pm 0.5 \text{ } \mu\text{g/ml}$  ตามลำดับ ส่วนรับกลุ่มผู้หญิงก่อนคื่นและหลังคื่นน้ำเสาวรสเปลือกม่วงมีค่าเท่ากับ  $2.5 \pm 0.4$  และ  $3.1 \pm 0.5 \text{ } \mu\text{g/ml}$  ตามลำดับ ทั้งกลุ่มที่คื่นน้ำเสาวรสเปลือกเหลืองและเปลือกม่วงมีความสามารถในการรีดิวส์เพอร์ริกเป็นเฟอร์รัสเพิ่มขึ้นอย่างมีนัยสำคัญทางสถิติเมื่อเทียบกับก่อนคื่น ( $p < 0.0005$ )



รูปที่ 30 กราฟแสดงความสามารถในการรีดิวส์เพอร์ริกเป็นเฟอร์รัสในผู้หญิง กลุ่มที่คื่นน้ำเสาวรสเปลือกเหลืองก่อนคื่นและหลังคื่น และกลุ่มที่คื่นน้ำเสาวรสเปลือกม่วงก่อนคื่นและหลังคื่น เปรียบเทียบกันระหว่าง ก่อนคื่นและหลังคื่น ที่ระดับนัยสำคัญ \* นัยสำคัญ  $p < 0.0005$

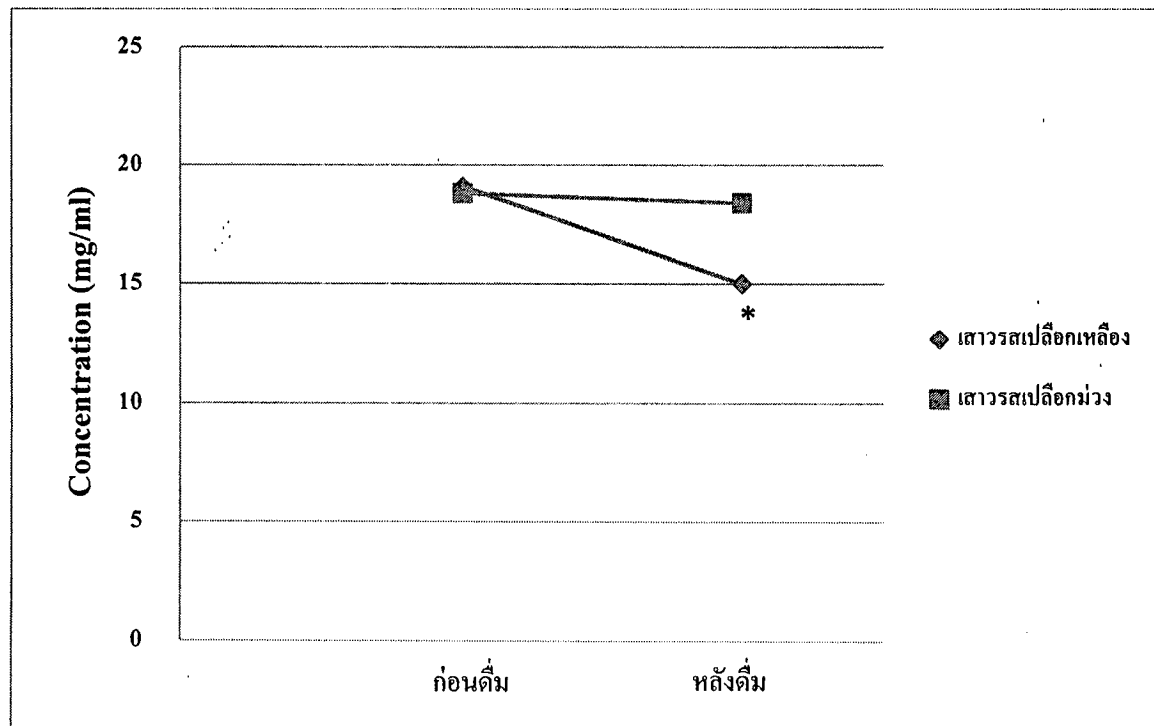
#### 4.5 การตรวจวัดปริมาณ reduced glutathione (GSH)

จากผลการวิเคราะห์พบว่าปริมาณ reduced glutathione ในกลุ่มผู้ชายก่อนดื่มและหลังดื่มน้ำเสาวรสเปลือกสีเหลืองมีค่าเท่ากัน  $23.7 \pm 5.4$  และ  $16.8 \pm 5.4$  mg/ml ตามลำดับ สำหรับกลุ่มผู้ชายก่อนดื่มและหลังดื่มน้ำเสาวรสเปลือกม่วงมีค่าเท่ากัน  $21.6 \pm 3.7$  และ  $19.6 \pm 3.1$  mg/ml ตามลำดับ ทั้งกลุ่มที่ดื่มน้ำเสาวรสเปลือกเหลืองและเปลือกม่วงและเปลือกม่วงมีปริมาณ reduced glutathione ลดลง แต่เฉพาะกลุ่มที่ดื่มน้ำเสาวรสเปลือกเหลืองเท่านั้นที่มีการลดลงอย่างมีนัยสำคัญทางสถิติเมื่อเทียบกับก่อนดื่ม ( $p < 0.05$ )



รูปที่ 31 กราฟแสดงปริมาณ reduced glutathione ในผู้ชาย กลุ่มที่ดื่มน้ำเสาวรสเปลือกเหลืองก่อนดื่มและหลังดื่ม และกลุ่มที่ดื่มน้ำเสาวรสเปลือกม่วงก่อนดื่มและหลังดื่ม เปรียบเทียบกันระหว่างก่อนดื่มและหลังดื่ม ที่ระดับนัยสำคัญ \* นัยสำคัญ  $p < 0.05$

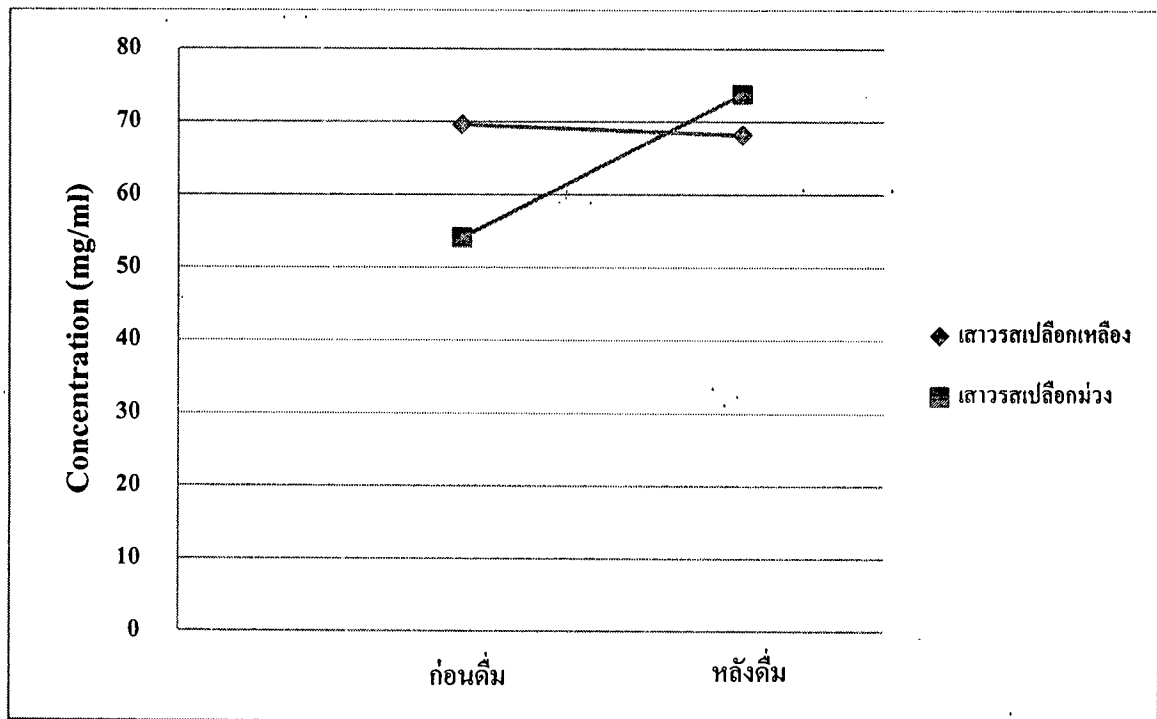
จากผลการวิเคราะห์พบว่าปริมาณ reduced glutathione ในกลุ่มผู้หญิงก่อนดื่มน้ำเสาวรสเปลี่ยนแปลงมีค่าเท่ากับ  $19.1 \pm 3.9$  และ  $15.0 \pm 4.9$  mg/ml ตามลำดับ สำหรับกลุ่มผู้หญิงก่อนดื่มน้ำและหลังดื่มน้ำเสาวรสเปลี่ยนแปลงมีค่าเท่ากับ  $18.8 \pm 3.9$  และ  $18.4 \pm 3.7$  mg/ml ตามลำดับ ทั้งกลุ่มที่ดื่มน้ำเสาวรสเปลี่ยนแปลงและเปลี่ยนน้ำเสาวรสเปลี่ยนแปลงมีปริมาณ reduced glutathione ลดลง แต่เฉพาะกลุ่มที่ดื่มน้ำเสาวรสเปลี่ยนแปลงเท่านั้นที่มีการลดลงอย่างมีนัยสำคัญทางสถิติเมื่อเทียบกับก่อนดื่ม ( $p < 0.05$ )



รูปที่ 32 กราฟแสดงปริมาณ reduced glutathione ในผู้หญิง กลุ่มที่ดื่มน้ำเสาวรสเปลี่ยนแปลงก่อนดื่มและหลังดื่ม และกลุ่มที่ดื่มน้ำเสาวรสเปลี่ยนไม่วงก่อนดื่มและหลังดื่ม เปรียบเทียบกันระหว่างก่อนดื่มและหลังดื่ม ที่ระดับนัยสำคัญ \* นัยสำคัญ  $p < 0.05$

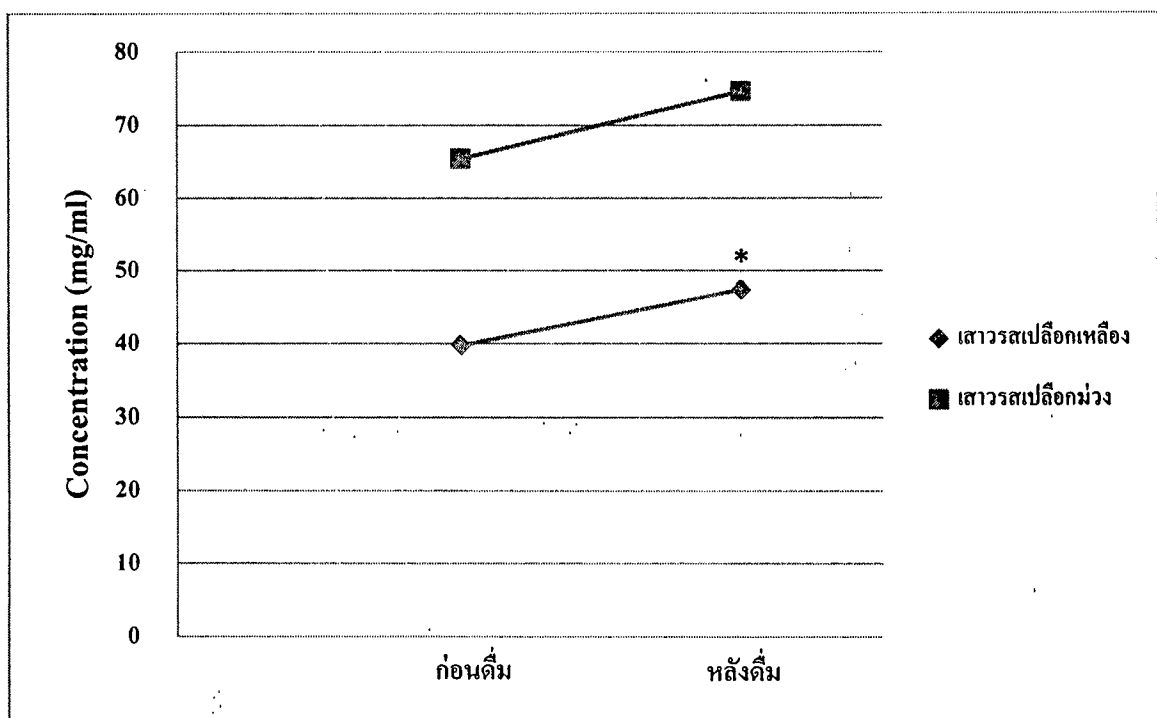
#### 4.6 การตรวจวัดปริมาณ malondialdehyde (MDA)

จากผลการวิเคราะห์พบว่าปริมาณ malondialdehyde ในกลุ่มผู้ชายก่อนดื่มและหลังดื่มน้ำเสาวรสเปลือกสีเหลืองมีค่าเท่ากับ  $69.6 \pm 35.4$  และ  $68.2 \pm 38.0$  mg/ml ตามลำดับ สำหรับกลุ่มผู้ชายก่อนดื่มและหลังดื่มน้ำเสาวรสเปลือกม่วงมีค่าเท่ากับ  $54.1 \pm 19.8$  และ  $73.8 \pm 31.3$  mg/ml ตามลำดับ กลุ่มที่ดื่มน้ำเสาวรสเปลือกเหลืองมีแนวโน้มของปริมาณ malondialdehyde ลดลง แต่กลุ่มที่ดื่มน้ำเสาวรสเปลือกม่วงเท่านั้นที่มีปริมาณ malondialdehyde เพิ่มขึ้นเมื่อเทียบกับก่อนดื่ม



รูปที่ 33 กราฟแสดงปริมาณ malondialdehyde ในผู้ชาย กลุ่มที่ดื่มน้ำเสาวรสเปลือกเหลืองก่อนดื่มและหลังดื่ม และกลุ่มที่ดื่มน้ำเสาวรสเปลือกม่วงก่อนดื่มและหลังดื่ม เปรียบเทียบกันระหว่างก่อนดื่มและหลังดื่ม

จากผลการวิเคราะห์พบว่าปริมาณ malondialdehyde ในกลุ่มผู้หญิงก่อนคื่นและหลังคื่นน้ำเสาวรสเปลือกสีเหลืองมีค่าเท่ากับ  $39.8 \pm 4.7$  และ  $47.4 \pm 8.6$  mg/ml ตามลำดับ สำหรับกลุ่มผู้หญิงก่อนคื่นและหลังคื่นน้ำเสาวรสเปลือกม่วงมีค่าเท่ากับ  $65.5 \pm 33.3$  และ  $74.7 \pm 30.7$  mg/ml ตามลำดับ กลุ่มที่คื่นน้ำเสาวรสเปลือกเหลืองและกลุ่มที่คื่นน้ำเสาวรสเปลือกม่วงมีปริมาณ malondialdehyde เพิ่มขึ้น แต่กลุ่มที่คื่นน้ำเสาวรสเปลือกเหลืองเท่านั้นที่มีปริมาณ malondialdehyde เพิ่มขึ้นเมื่อเทียบกับก่อนคื่นอย่างมีนัยสำคัญทางสถิติ ( $p < 0.005$ )



รูปที่ 34 กราฟแสดงปริมาณ malondialdehyde ในผู้หญิง กลุ่มที่คื่นน้ำเสาวรสเปลือกเหลืองก่อนคื่นและหลังคื่น และกลุ่มที่คื่นน้ำเสาวรสเปลือกม่วงก่อนคื่นและหลังคื่น เปรียบเทียบกันระหว่างก่อนคื่นและหลังคื่น ที่ระดับนัยสำคัญ \* นัยสำคัญ  $p < 0.005$

## 5. การวิเคราะห์หาฤทธิ์ต้านการอักเสบ

### 5.1 การตรวจวิเคราะห์หาปริมาณไนตริกออกไซด์ (Nitric oxide; NO)

การตรวจวิเคราะห์หาปริมาณไนตริกออกไซด์ (Nitric oxide) โดยวิธี Nitric oxide scavenging assay

จากการตรวจวิเคราะห์หาปริมาณไนตริกออกไซด์ในผู้สูงอายุเพศชายพบว่า ในกลุ่มผู้ชายก่อนคื่นและหลังคื่นน้ำเสาวรสเปลี่ยนสีเหลืองมีค่าเท่ากับ  $2.1 \pm 1.2$  และ  $2.3 \pm 1.2$  pg/ml ตามลำดับ สำหรับกลุ่มผู้ชายก่อนคื่นและหลังคื่นน้ำเสาวรสเปลี่ยนสีม่วงมีค่าเท่ากับ  $1.3 \pm 0.4$  และ  $2.2 \pm 1.2$  pg/ml ตามลำดับ กลุ่มที่คื่นน้ำเสาวรสเปลี่ยนสีม่วงมีปริมาณไนตริกออกไซด์เพิ่มขึ้น เมื่อเทียบกับก่อนคื่นอย่างมีนัยสำคัญทางสถิติ ( $p < 0.01$ )

สำหรับการตรวจวิเคราะห์หาปริมาณไนตริกออกไซด์ในผู้สูงอายุเพศหญิงพบว่า ในกลุ่มผู้หญิงก่อนคื่นและหลังคื่นน้ำเสาวรสเปลี่ยนสีเหลืองมีค่าเท่ากับ  $1.5 \pm 0.9$  และ  $1.4 \pm 0.6$  pg/ml ตามลำดับ สำหรับกลุ่มผู้หญิงก่อนคื่นและหลังคื่นน้ำเสาวรสเปลี่ยนสีม่วงมีค่าเท่ากับ  $1.7 \pm 0.8$  และ  $1.7 \pm 0.8$  pg/ml ตามลำดับ

ตารางที่ 18 แสดงผลการตรวจวิเคราะห์หาปริมาณไนตริกออกไซด์ (Nitric oxide) ในกลุ่มผู้ชาย

	เพศชายกลุ่มน้ำเสาวรสเปลี่ยนสีเหลือง		เพศชายกลุ่มน้ำเสาวรสเปลี่ยนสีม่วง	
	ก่อนคื่น	หลังคื่น	ก่อนคื่น	หลังคื่น
Nitric oxide (pg/ml)	$2.1 \pm 1.2$	$2.3 \pm 1.2$	$1.3 \pm 0.4$	$2.2 \pm 1.2$

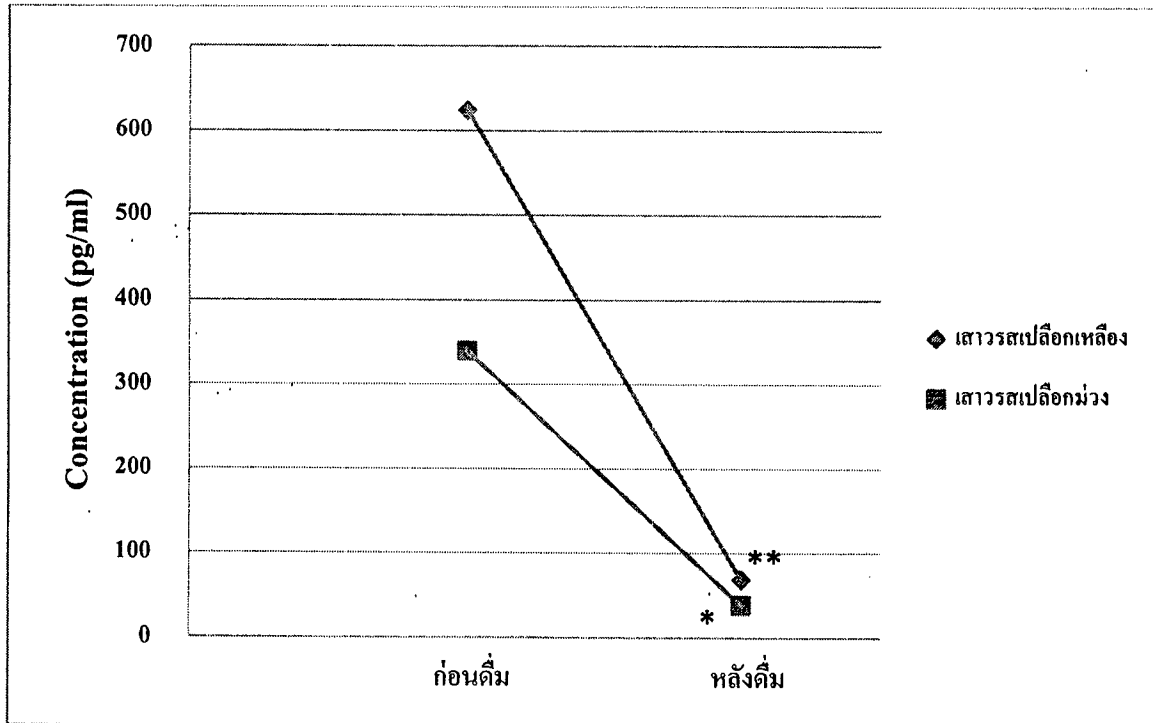
\* นัยสำคัญทางสถิติ ( $p < 0.01$ )

ตารางที่ 19 แสดงผลการตรวจวิเคราะห์หาปริมาณไนตริกออกไซด์ (Nitric oxide) ในกลุ่มผู้หญิง

	เพศหญิงกลุ่มน้ำเสาวรสเปลี่ยนสีเหลือง		เพศหญิงกลุ่มน้ำเสาวรสเปลี่ยนสีม่วง	
	ก่อนคื่น	หลังคื่น	ก่อนคื่น	หลังคื่น
Nitric oxide (pg/ml)	$1.5 \pm 0.9$	$1.4 \pm 0.6$	$1.7 \pm 0.8$	$1.7 \pm 0.8$

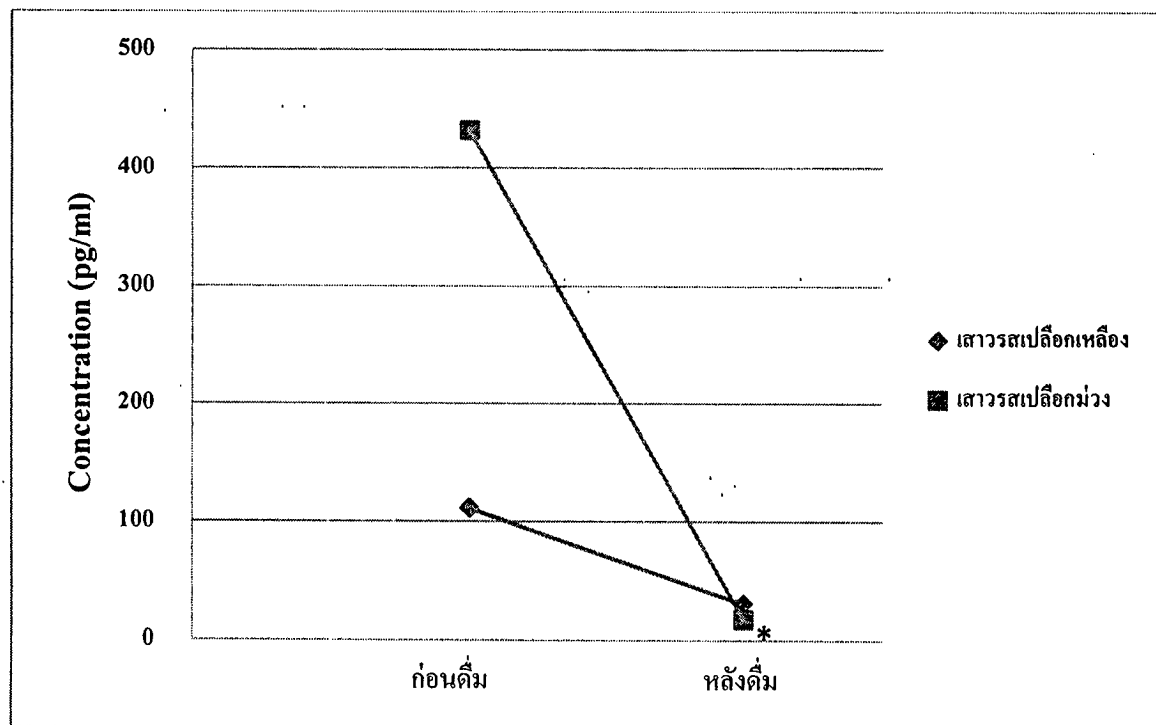
### 5.2 การตรวจวิเคราะห์หาปริมาณ interleukin-6 (IL-6)

โดยใช้หลักการ Sandwich Enzyme-Linked Immunosorbent Assay (ELISA) จากการตรวจวิเคราะห์หาปริมาณ interleukin-6 (IL-6) ในผู้สูงอายุเพศชายพบว่า ในกลุ่มผู้ชายก่อนคีมและหลังคีมน้ำเสาวรสเปลือกสีเหลืองมีค่าเท่ากับ  $624.3 \pm 112.2$  และ  $68.5 \pm 27.3$  pg/ml ตามลำดับ สำหรับกลุ่มผู้ชายก่อนคีมและหลังคีมน้ำเสาวรสเปลือกม่วงมีค่าเท่ากับ  $340.1 \pm 117.5$  และ  $38.7 \pm 8.7$  pg/ml ตามลำดับ กลุ่มที่คีมน้ำเสาวรสเปลือกเหลืองมีปริมาณ IL-6 ลดลง เมื่อเทียบกับก่อนคีมอย่างมีนัยสำคัญทางสถิติ ( $p < 0.005$ ) และกลุ่มที่คีมน้ำเสาวรสเปลือกม่วงมีปริมาณ IL-6 ลดลง เมื่อเทียบกับก่อนคีมอย่างมีนัยสำคัญทางสถิติ ( $p < 0.05$ )



รูปที่ 35 กราฟแสดงปริมาณ interleukin-6 (IL-6) ของผู้ชาย กลุ่มที่คีมน้ำเสาวรสเปลือกเหลืองก่อนคีมและหลังคีม และกลุ่มที่คีมน้ำเสาวรสเปลือกม่วงก่อนคีมและหลังคีม เปรียบเทียบกันระหว่างก่อนคีมและหลังคีม ที่ระดับนัยสำคัญ \* นัยสำคัญ  $p < 0.05$  และ \*\* นัยสำคัญ  $p < 0.005$

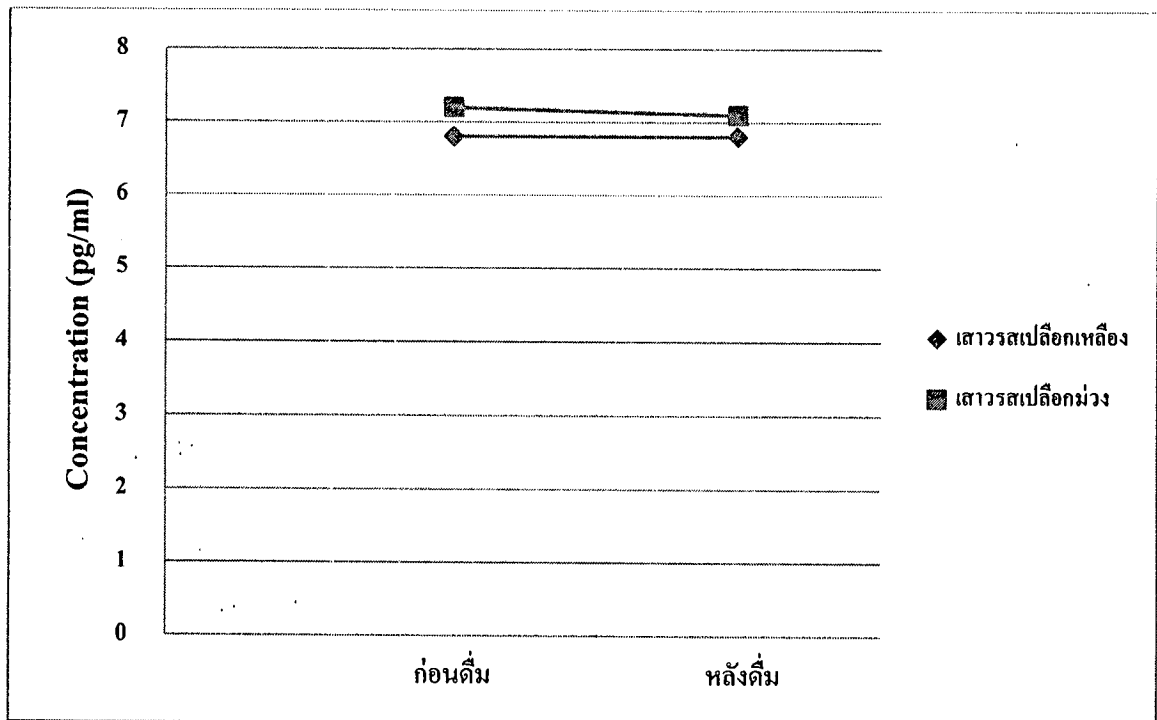
ส่วนในกลุ่มผู้สูงอายุเพศหญิงจากการตรวจวิเคราะห์หาปริมาณ interleukin-6 (IL-6) พบว่า ในกลุ่มผู้หญิงก่อนคื่นและหลังคื่นน้ำเสาวรสเปลือกเสื่อมมีค่าเท่ากับ  $111.2 \pm 51.5$  และ  $30.8 \pm 7.8$  pg/ml ตามลำดับ สำหรับกลุ่มผู้หญิงก่อนคื่นและหลังคื่นน้ำเสาวรสเปลือกม่วงมีค่าเท่ากับ  $431.6 \pm 97.3$  และ  $17.5 \pm 4.2$  pg/ml ตามลำดับ โดยกลุ่มที่คื่นน้ำเสาวรสเปลือกม่วงมีปริมาณ IL-6 ลดลง เมื่อเทียบกับก่อนคื่นอย่างมีนัยสำคัญทางสถิติ ( $p < 0.0005$ )



รูปที่ 36 กราฟแสดงปริมาณ interleukin-6 (IL-6) ของผู้หญิง กลุ่มที่คื่นน้ำเสาวรสเปลือกเสื่อมก่อนคื่นและหลังคื่น และกลุ่มที่คื่นน้ำเสาวรสเปลือกม่วงก่อนคื่นและหลังคื่น เปรียบเทียบกันระหว่างก่อนคื่นและหลังคื่น ที่ระดับนัยสำคัญ \* นัยสำคัญ  $p < 0.0005$

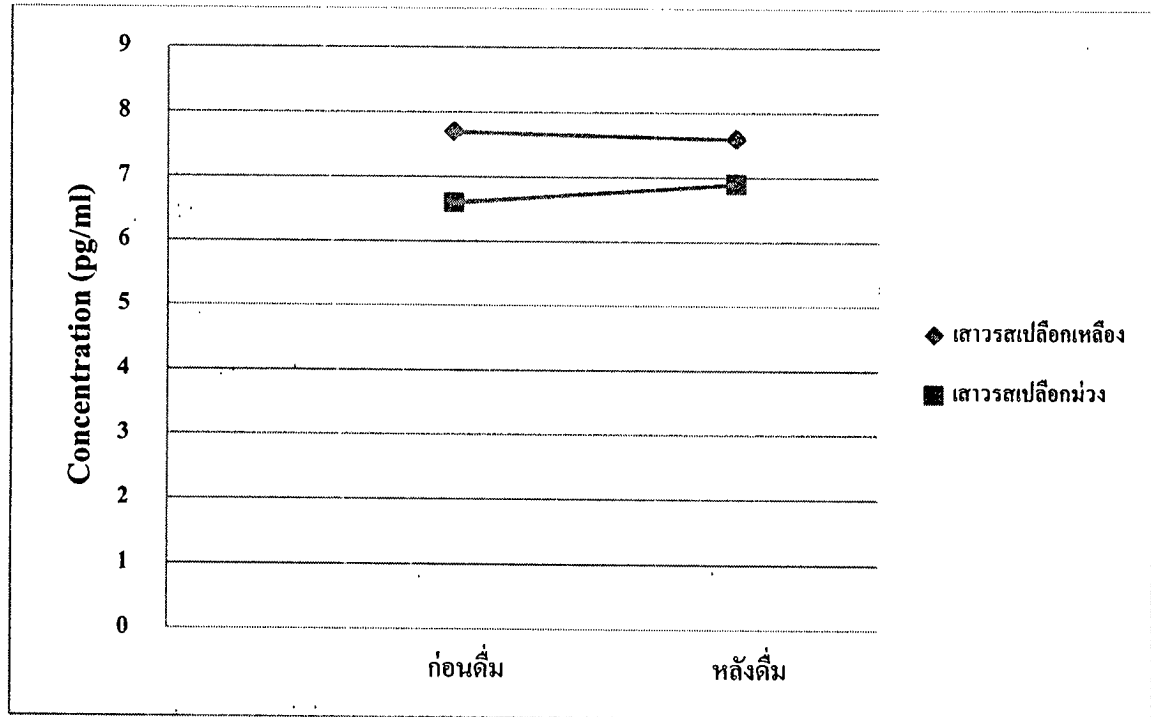
### 5.3 การตรวจวิเคราะห์หาปริมาณ interleukin-10 (IL-10)

โดยใช้หลักการ Sandwich Enzyme-Linked Immunosorbent Assay (ELISA) จากการตรวจวิเคราะห์หาปริมาณ interleukin-10 (IL-10) ในผู้สูงอายุเพศชายพบว่า ในกลุ่มผู้ชายก่อนดีมและหลังดีมน้ำเสาวรสเปลือกสีเหลืองมีค่าเท่ากับ  $6.8 \pm 0.3$  และ  $6.8 \pm 0.3$  pg/ml ตามลำดับ สำหรับกลุ่มผู้ชายก่อนดีมและหลังดีมน้ำเสาวรสเปลือกม่วงมีค่าเท่ากับ  $7.2 \pm 0.5$  และ  $7.1 \pm 0.4$  pg/ml ตามลำดับ



รูปที่ 37 กราฟแสดงปริมาณของ interleukin-10 (IL-10) ของผู้ชาย กลุ่มที่ดีมน้ำเสาวรสเปลือกเหลืองก่อนดีม และหลังดีม และกลุ่มที่ดีมน้ำเสาวรสเปลือกม่วงก่อนดีมและหลังดีม เปรียบเทียบกันระหว่างก่อนดีมและหลังดีม

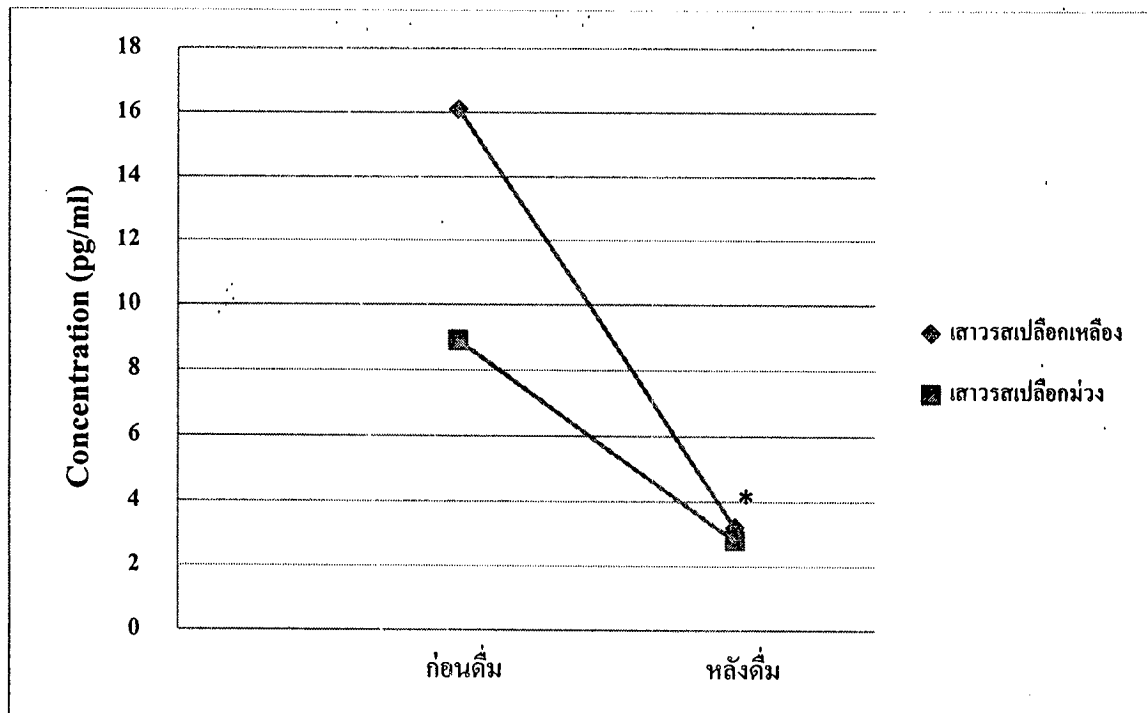
ส่วนในกลุ่มผู้สูงอายุเพศหญิงจากการตรวจวิเคราะห์หาปริมาณ interleukin-10 (IL-10) พบร่วมในกลุ่มผู้หญิงก่อนดีเมและหลังดีเมน้ำเสาวรสเปลือกเปลือกมีค่าเท่ากับ  $7.7 \pm 2.0$  และ  $7.6 \pm 2.0$  pg/ml ตามลำดับ สำหรับกลุ่มผู้หญิงก่อนดีเมและหลังดีเมน้ำเสาวรสเปลือกม่วงมีค่าเท่ากับ  $6.6 \pm 0.3$  และ  $6.9 \pm 0.3$  pg/ml ตามลำดับ



รูปที่ 38 กราฟแสดงปริมาณของ interleukin-10 (IL-10) ของผู้หญิง กลุ่มที่ดีเมน้ำเสาวรสเปลือกเปลือกก่อนดีเมและหลังดีเม และกลุ่มที่ดีเมน้ำเสาวรสเปลือกม่วงก่อนดีเมและหลังดีเม เปรียบเทียบกันระหว่างก่อนดีเมและหลังดีเม

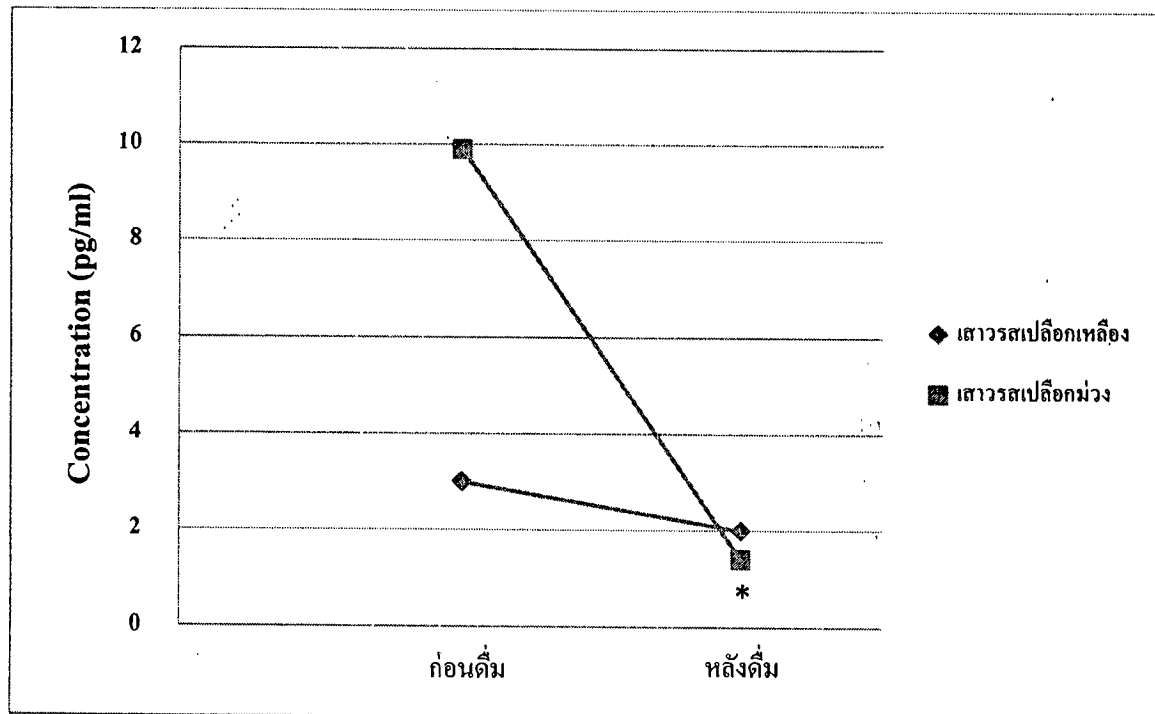
#### 5.4 การตรวจวิเคราะห์หาปริมาณ tumor necrotic factor-alpha (TNF- $\alpha$ )

โดยใช้หลักการ Sandwich Enzyme-Linked Immunosorbent Assay (ELISA) จากการตรวจวิเคราะห์หาปริมาณ tumor necrotic factor-alpha (TNF- $\alpha$ ) ในผู้สูงอายุเพศชายพบว่า ในกลุ่มผู้ชายก่อนคื่นและหลังคื่นน้ำเสาวรสเปลือกเสื่อองมีค่าเท่ากับ  $16.1 \pm 3.8$  และ  $3.2 \pm 3.1$  pg/ml ตามลำดับ สำหรับกลุ่มผู้ชายก่อนคื่นและหลังคื่นน้ำเสาวรสเปลือกเสื่อองมีปริมาณ TNF- $\alpha$  ลดลง เมื่อเทียบกับก่อนคื่นอย่างมีนัยสำคัญทางสถิติ ( $p < 0.005$ ) และกลุ่มที่คื่นน้ำเสาวรสเปลือกม่วงมีปริมาณ TNF- $\alpha$  ลดลง เมื่อเทียบกับก่อนคื่น



รูปที่ 39 กราฟแสดงปริมาณของ Tumor necrotic factor-alpha (TNF- $\alpha$ ) ของผู้ชาย กลุ่มที่คื่นน้ำเสาวรสเปลือกเสื่อองก่อนคื่นและหลังคื่น และกลุ่มที่คื่นน้ำเสาวรสเปลือกม่วงก่อนคื่นและหลังคื่น เปรียบเทียบกันระหว่างก่อนคื่นและหลังคื่น ที่ระดับนัยสำคัญ \* นัยสำคัญ  $p < 0.005$

ส่วนในกลุ่มผู้หญิงพบว่าปริมาณ tumor necrotic factor-alpha (TNF- $\alpha$ ) ในกลุ่มผู้หญิงก่อนคื่นและหลังคื่นน้ำเสาวรสเปลี่ยนแปลงมีค่าเท่ากับ  $3.0 \pm 0.9$  และ  $2.0 \pm 0.3$  pg/ml ตามลำดับ สำหรับกลุ่มผู้หญิง ก่อนคื่นและหลังคื่นน้ำเสาวรสเปลี่ยนแปลงมีค่าเท่ากับ  $9.9 \pm 2.1$  และ  $1.4 \pm 0.3$  pg/ml ตามลำดับ กลุ่มที่คื่นน้ำเสาวรสเปลี่ยนแปลงมีปริมาณ TNF- $\alpha$  ลดลงเล็กน้อย เมื่อเทียบกับก่อนคื่น และกลุ่มที่คื่นน้ำเสาวรสเปลี่ยนแปลง มีปริมาณ TNF- $\alpha$  ลดลง เมื่อเทียบกับก่อนคื่นอย่างมีนัยสำคัญทางสถิติ ( $p < 0.0005$ )



รูปที่ 40 กราฟแสดงปริมาณของ Tumor necrotic factor-alpha (TNF- $\alpha$ ) ของผู้หญิง กลุ่มที่คื่นน้ำเสาวรสเปลี่ยนแปลงก่อนคื่นและหลังคื่น และกลุ่มที่คื่นน้ำเสาวรสเปลี่ยนแปลงก่อนคื่นและหลังคื่น เปรียบเทียบกันระหว่างก่อนคื่นและหลังคื่น ที่ระดับนัยสำคัญ \* นัยสำคัญ  $p < 0.0005$